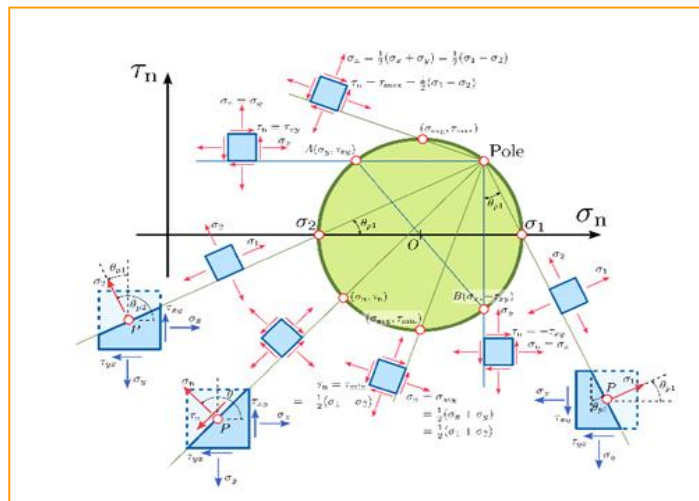


ΤΕΙ ΔΥΤΙΚΗΣ ΕΛΛΑΔΑΣ  
 ΣΧΟΛΗ ΤΕΧΝΟΛΟΓΙΚΩΝ ΕΦΑΡΜΟΓΩΝ  
 ΤΜΗΜΑ ΠΟΛΙΤΙΚΩΝ ΜΗΧΑΝΙΚΩΝ ΤΕ



ΣΥΝΘΕΤΗ ΚΑΤΑΠΟΝΗΣΗ -ΚΡΙΤΗΡΙΑ ΑΣΤΟΧΙΑΣ ΚΑΙ ΜΗΧΑΝΙΚΕΣ ΙΔΙΟΤΗΤΕΣ ΥΛΙΚΩΝ-  
 ΕΦΑΡΜΟΓΕΣ ΜΕ ΤΟ ΠΡΟΓΡΑΜΜΑ RUNET

ΣΠΟΥΔΑΣΤΕΣ: ΚΟΚΟΡΗΣ ΘΕΟΔΩΡΟΣ

ΜΠΑΛΑΟΥΡΑΣ ΓΕΩΡΓΙΟΣ

ΕΙΣΗΓΗΤΗΣ: ΔΡ ΠΑΝ. ΚΑΚΑΒΑΣ

ΠΑΤΡΑ 2016

## Ευχαριστίες

Ευχαριστούμε τον εισηγητή της πτυχιακής μας εργασίας για τον χρόνο και την καθοδήγηση που μας παρείχε για την ολοκλήρωση της παρούσας εργασίας

## ΠΡΟΛΟΓΟΣ

Η παρούσα πτυχιακή εργασία διαπραγματεύεται με την σύνθετη καταπόνηση και κριτήρια αστοχίας και των μηχανικών ιδιοτήτων υλικών και εφαρμογές με το πρόγραμμα Runet. Στο κεφάλαιο πρώτο μελετήσαμε τη θεωρία κάμψης δοκών και συνδυασμό της κάμψης με αξονικό φορτίο. Αρχικά μελετώνται δοκοί συμμετρικής διατομής με δυνάμεις πάνω στο επίπεδο συμμετρίας της δοκού. Ακολούθως η θεωρία κάμψης γενικεύεται για να καλύψει την περίπτωση ασύμμετρης κάμψης, που αφορά σε δομικά στοιχεία με ασύμμετρη διατομή ή στοιχεία συμμετρικής διατομής με ροπές σε δύο διευθύνσεις. Εφαρμογή του προγράμματος Runet σε δομικές κατασκευές περιγράφονται στο κεφάλαιο αυτό. Με βάση το πρόγραμμα μπορέσαμε να προσδιορίσουμε τον οπλισμό των υποστυλωμάτων και πλακοδοκών σε διαφορετικούς τύπους φόρτισης.

Στο δεύτερο κεφάλαιο ασχοληθήκαμε με τις θεωρίες αστοχίας των δομικών στοιχείων και εφαρμογές με τον κύκλο του Mohr. Οι τάσεις στο εσωτερικό σώματος ευρισκομένου σε δυαξονική κατάσταση μελετήθηκαν στο 2ο κεφάλαιο. Μελετήσαμε τον κύκλο του Mohr - Γραφική παράσταση τάσεων πάνω στον κύκλο. Επίσης εφαρμόσαμε ειδικό πρόγραμμα με τίτλο Mohr, από το ΕΜΠ, όπου μπορέσαμε να υπολογίσουμε τις ακρότατες τάσεις πάνω στον κύκλο του Mohr. Με τη χρήση του προγράμματος επιλύσαμε διάφορα παραδείγματα υπολογισμού ακρότατων τάσεων. Σύγκριση με την αναλυτική μέθοδο, που γράφατε σε βιβλία αντοχής υλικών πραγματοποιήθηκε για τον έλεγχο του προγράμματος. Τα αποτελέσματα ίσα αξιόπιστα.

## ΠΕΡΙΕΧΟΜΕΝΑ

|  |    |
|--|----|
| ΠΡΟΛΟΓΟΣ .....   | 2  |
| ΚΕΦΑΛΑΙΟ 1 <sup>ο</sup> ΚΑΜΨΗ ΔΟΚΩΝ ΚΑΙ ΚΑΜΨΗ ΜΕ ΑΞΟΝΙΚΗ ΔΥΝΑΜΗ .....            | 4  |
| 1.1 Εισαγωγή .....   | 6  |
| 1.2 Βασική κινηματική υπόθεση για κάμψη δοκού συμμετρικής διατομής .....         | 6  |
| 1.3 Η εξίσωση ελαστικής κάμψης .....   | 8  |
| 1.4 Κέντρο βάρους διατομής, πρωτοβάθμιες ροπές και ροπές αδράνειας .....         | 14 |
| 1.4.1 Πρωτοβάθμιες ροπές επιφάνειας και κέντρο βάρους .....                      | 14 |
| 1.4.2 Δευτεροβάθμιες ροπές επιφάνειας .....                                      | 16 |
| 1.4 Κάμψη ως προς τους κύριους άξονες .....                                      | 21 |
| 1.5 Εφαρμογή του προγράμματος Runet σε δομικές κατασκευές .....                  | 23 |
| Κεφάλαιο 2 <sup>ο</sup> Θεωρίες αστοχίας δομικών υλικών .....                    | 32 |
| 2.1 ΠΕΡΙ ΤΑΣΕΩΝ-ΚΥΚΛΟΣ ΤΟΥ ΜΟHR .....  | 33 |
| 2α) Τασεις στο εσωτερικο σωματος ευρισκομενου σε δυαξονικη αξονικη κατασταση. .. | 33 |
| 2β) Διερευνηση των σχεσεων ( 12) και ( 13 ) .....                                | 37 |
| 2γ) Κυκλος του Mohr - Γραφικη παρασταση τασεων .....                             | 38 |
| ΕΦΑΡΜΟΓΕΣ .....  | 40 |
| 2.δ ΠΕΡΙ ΠΑΡΑΜΟΡΦΩΣΕΩΝ - ΚΥΚΛΟΣ ΤΟΥ ΜΟHR .....                                   | 43 |
| εντατικη κατασταση .....   | 43 |
| 2.ε Γραφικη παρασταση παραμορφωσεων - Κυκλος του Mohr .....                      | 45 |
| 2.δ ΚΡΙΤΗΡΙΟ ΑΣΤΟΧΙΑΣ ΣΤΟ ΚΥΚΛΟ ΤΟΥ ΜΟHR .....                                   | 47 |
| ΒΙΒΛΙΟΓΡΑΦΙΑ .....   | 55 |
| ΠΑΡΑΡΤΗΜΑ .....  | 56 |

## ΣΧΗΜΑΤΑ

|   |    |
|---|----|
| Σχήμα 1- 1 Συμπεριφορά ελαστικής δοκού σε κάμψη .....   | 7  |
| Σχήμα 1- 2 Ισοδύναμες παραστάσεις των ορθών τάσεων σε ορθογωνική διατομή δοκού .              | 9  |
| Σχήμα 1- 3 Τρισδιάστατη παράσταση ορθών τάσεων, ουδέτερος άξονας και ουδέτερη επιφάνεια ..... | 9  |
| Σχήμα 1- 4 Τμήμα δοκού σε καθαρή κάμψη .....  | 10 |
| Σχήμα 1- 5 Ορισμός θετικών ροπών για κάμψη ως προς άξονα (α) z και (β) y .....                | 11 |
| Σχήμα 1- 6 Επιφάνεια διατομής σε σύστημα αξόνων y-z .....                                     | 14 |
| Σχήμα 1- 7 Διατομή με (α) διπλή και (β) απλή συμμετρία .....                                  | 16 |
| Σχήμα 1- 8 Επιφάνεια διατομής σε σύστημα αξόνων y-z .....                                     | 17 |
| Σχήμα 1- 9 Μήκος πλαστικοποίησης σε πρόβολο από ελαστικοπλαστικό υλικό .....                  | 18 |
| Σχήμα 1- 10 Ασύμμετρη κάμψη δοκού διατομής με δυο άξονες συμμετρίας .....                     | 20 |
| Σχήμα 1- 11 Επαλληλία ορθών τάσεων για κάμψη δοκού με διατομή διπλής συμμετρίας               | 20 |

## **ΚΕΦΑΛΑΙΟ 1<sup>ο</sup> ΚΑΜΨΗ ΔΟΚΩΝ ΚΑΙ ΚΑΜΨΗ ΜΕ ΑΞΟΝΙΚΗ ΔΥΝΑΜΗ**

## 1.1 Εισαγωγή<sup>1</sup>

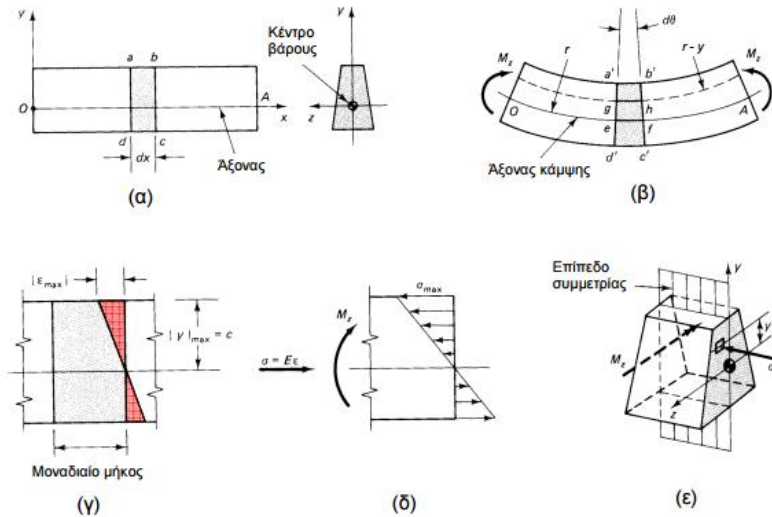
Το κεφάλαιο αυτό πραγματεύεται τη μελέτη δομικών στοιχείων τύπου “δοκού”, δηλαδή στοιχείων τα οποία καταπονούνται κυρίως με δυνάμεις κάθετα στον άξονά τους ή/και με ροπές κάμψης στα άκρα τους. Στις διατομές των στοιχείων αυτών προκύπτουν ροπές κάμψης, οι οποίες, όπως θα δούμε, έχουν ως αποτέλεσμα την ανάπτυξη εφελκυστικών και θλιπτικών τάσεων. Ένα από τα κύρια ζητούμενα του κεφαλαίου είναι ο υπολογισμός των τάσεων αυτών. Αρχικά μελετώνται δοκοί συμμετρικής διατομής με δυνάμεις πάνω στο επίπεδο συμμετρίας της δοκού. Ακολούθως η θεωρία κάμψης γενικεύεται για να καλύψει την περίπτωση ασύμμετρης κάμψης, που αφορά σε δομικά στοιχεία με ασύμμετρη διατομή ή στοιχεία συμμετρικής διατομής με ροπές σε δύο διευθύνσεις. Η μελέτη ολοκληρώνεται θεωρώντας τον ταυτόχρονο συνδυασμό ασύμμετρης κάμψης με αξονική δύναμη, που αφορά κυρίως σε δομικά στοιχεία τύπου υποστυλώματος.

### 1.2 Βασική κινηματική υπόθεση για κάμψη δοκού συμμετρικής διατομής

Η τεχνική θεωρία κάμψης δοκών βασίζεται σε τρεις θεμελιώδεις υποθέσεις. Η πρώτη αφορά στον τρόπο με τον οποίο παραμορφώνεται μία δοκός λόγω κάμψης, δηλαδή στο σχήμα που αποκτά λόγω των εξωτερικών φορτίων. Η δεύτερη αφορά στον τρόπο με τον οποίο σχετίζονται οι παραμορφώσεις λόγω κάμψης με τις τάσεις, βάσει των καταστατικών νόμων των υλικών. Τέλος, η τρίτη εξασφαλίζει την ισορροπία μεταξύ εξωτερικών φορτίων και εσωτερικών δυνάμεων. Η πρώτη από τις παραπάνω υποθέσεις, γνωστή και ως κινηματική υπόθεση, αποτελεί αντικείμενο αυτής της ενότητας. Για λόγους καλύτερης εποπτείας θεωρούμε μία οριζόντια ευθύγραμμη δοκό σταθερής διατομής (πρισματική δοκός) από υλικό ομοιογενές, ισότροπο και με ελαστική συμπεριφορά. Στη δοκό ορίζεται ένα σύστημα αξόνων έτσι ώστε  $x$  να είναι ο διαμήκης άξονας της δοκού (επί του παρόντος είναι άγνωστη η ακριβής θέση του άξονα αυτού),  $y$  ο κάθετος σε αυτόν ώστε να αποτελεί άξονα συμμετρίας κάθε διατομής και  $z$  ο κάθετος άξονας στο επίπεδο  $x - y$ , έτσι ώστε να σχηματίζεται τρισσορθογώνιο σύστημα αξόνων  $x - y - z$  (Σχ. 1.1α). Σημειώνουμε ότι το επίπεδο  $x - y$  αποτελεί επίπεδο συμμετρίας της δοκού. Η αρχή των αξόνων  $O$  τοποθετείται στο αριστερό άκρο της δοκού. Ακολούθως θεωρούμε ένα μικρό τμήμα της δοκού μήκους  $dx$  μεταξύ δύο επιπέδων κάθετων στον άξονα  $x$ , το οποίο σε πλάγια όψη σημειώνεται ως  $abcd$  (Σχ. 1.1α). Αν υποθέσουμε ότι στα άκρα της δοκού δρουν ίσες ροπές  $Mz$  ως προς τον άξονα  $Z$ , Σχ. 1.1β, η δοκός “κάμπτεται” πάνω στο επίπεδο συμμετρίας έτσι ώστε κάθε επίπεδο αρχικά κάθετο στον άξονα της δοκού, δηλαδή κάθε διατομή, να στρέφεται ελαφρώς ως προς τον άξονα αυτό. Η στροφή αυτές είναι

<sup>1</sup> Α. Τριανταφύλλου, Μηχανική των Υλικών, Πάτρα 2016

τέτοιες ώστε οι διατομές της δοκού κάθετα στο διαμήκη άξονα να παραμένουν επίπεδες και κάθετες στον άξονα και μετά την κάμψη 1 . Αποτέλεσμα της υπόθεσης αυτής είναι ότι οι γραμμές  $ad$  και  $bc$  του Σχ. 1.1α παραμένουν μετά την παραμόρφωση ευθείες (  $da''$  και  $''cb$  ).



**Σχήμα 1- 1 1 Συμπεριφορά ελαστικής δοκού σε κάμψη.**

Ο τρόπος καταπόνησης της δοκού του Σχ. 1.1β ονομάζεται καθαρή κάμψη. Πρόκειται για καταπόνηση με ροπή κάμψης καθ' όλο το μήκος της δοκού απουσία τέμνουσας δύναμης. Αν δρα και τέμνουσα δύναμη, η κάμψη ονομάζεται συνήθης. Η παραπάνω υπόθεση, γνωστή ως υπόθεση του Bernoulli, είναι απόλυτα ορθή για ελαστικές δοκούς ορθογωνικής διατομής σε καθαρή κάμψη και κατά πολύ καλή προσέγγιση ορθή για δοκούς με άλλες διατομές ή όταν δρα και τέμνουσα δύναμη ή ακόμα και όταν το υλικό της δοκού έχει ξεπεράσει την ελαστική περιοχή, αρκεί το ύψος της δοκού να είναι "μικρό" σε σχέση με το μήκος (π.χ. για λόγους μήκους προς ύψος της τάξης του 8-10 και πάνω). Ο άξονας της δοκού μεταξύ των διατομών  $da''$  και  $''cb$  αποτελεί τμήμα κύκλου με ακτίνα  $r$  (Σχ.1.1β). Στο μικρό στοιχείο  $''dcba$  του Σχ. 1.1β τα μήκη  $''ba$  ,  $gh$  ,  $ef$  και  $cd$  (αλλά και οποιοδήποτε άλλο μήκος παράλληλα στον άξονα) ονομάζονται ίνες του υλικού. Εξ αυτών η ίνα  $ef$  , δηλαδή ένα πολύ μικρό τμήμα του άξονα της δοκού, έχει μήκος  $ds = r d\theta$  , υποθέτοντας ότι η γωνία  $d\theta$  μεταξύ των  $''da$  και  $''cb$  είναι απειροστά μικρή. Έτσι γράφουμε:

$$\frac{dq}{ds} = \frac{1}{r} = k$$

όπου  $\kappa$ , το αντίστροφο της ακτίνας, ονομάζεται καμπυλότητα. Στην περίπτωση καθαρής κάμψης δοκού (δηλαδή με σταθερή ροπή κατά μήκος) τα μεγέθη  $r$  και  $\kappa$  είναι σταθερά. Με παρόμοιο τρόπο, το μήκος  $gh$  της ίνας σε απόσταση  $y$  από τον άξονα της δοκού (ή  $r - y$  από το κέντρο του κύκλου) έχει μήκος  $(r - y)d\theta$ , οπότε η διαφορά μήκους του  $gh$  από το  $ef$  είναι

$$d\hat{u} = (r - y)d\theta - rd\theta = -y d\theta \quad 1.2$$

$$e_x = -\frac{y}{r} \quad 1.3$$

Διαιρώντας κατά μέλη με  $ds$  γραφούμε  $d\hat{u}/ds = -r/y$ . Ακολουθώντας, υποθέτοντας ότι οι μετατοπίσεις και στροφές του άξονα της δοκού είναι μικρές, τα συνημίτονα των γωνιών μέσω των οποίων τα  $ud\hat{u}$  και  $ds$  προβάλλονται στον οριζόντιο άξονα είναι περίπου ίσα με τη μονάδα, και άρα το  $ud\hat{u}$  μπορεί να αντικατασταθεί με  $du$ , που είναι η αξονική μεταβολή μήκους της ίνας  $ef$ , και το  $ds$  μπορεί να αντικατασταθεί με  $dx$ . Τέλος, από τη σχέση  $du/dx = \epsilon$  όπου  $\epsilon$  η ορθή παραμόρφωση στη διεύθυνση  $x$ , γράφουμε:

Η εξίσωση (1.3), η οποία αποτελεί τη βασική κινηματική υπόθεση της τεχνικής θεωρίας κάμψης, δίνει ότι οι ορθές παραμορφώσεις σε δοκό που κάμπτεται μεταβάλλονται γραμμικά με την απόσταση πάνω στον άξονα  $y$ , η αρχή του οποίου όμως παραμένει ακόμα απροσδιόριστη. Η εύρεση της θέσης του άξονα αυτού αποτελεί αντικείμενο της επόμενης ενότητας.

### 1.3 Η εξίσωση ελαστικής κάμψης

Βάσει του νόμου του Hooke, η ορθή παραμόρφωση  $\epsilon$  έχει ως αποτέλεσμα την ανάπτυξη ορθής τάσης  $\sigma$ :

$$\sigma = E\epsilon_x = -\frac{E_y}{r} \quad 1.4$$

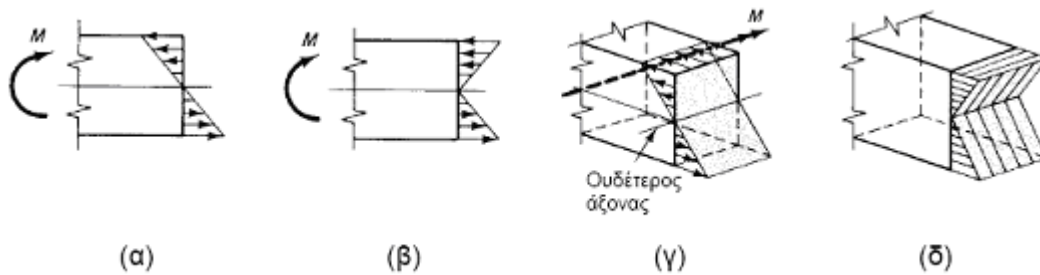
Ακολουθώντας θα κάνουμε χρήση των συνθηκών ισοροπίας. Για να γίνει αυτό, θα πρέπει να φανταστούμε το αποτέλεσμα της δράσης των εξωτερικών φορτίων σε κάθε διατομή της δοκού με δύο διαφορετικούς τρόπους: σύμφωνα με τον πρώτο τρόπο, το εσωτερικό εντατικό μέγεθος στη διατομή είναι η ροπή κάμψης (η αξονική δύναμη είναι μηδέν αλλά και η τέμνουσα δύναμη είναι μηδέν, λόγω της υπόθεσης καθαρής κάμψης). Σύμφωνα με το δεύτερο τρόπο, τα εσωτερικά εντατικά μεγέθη είναι οι ορθές



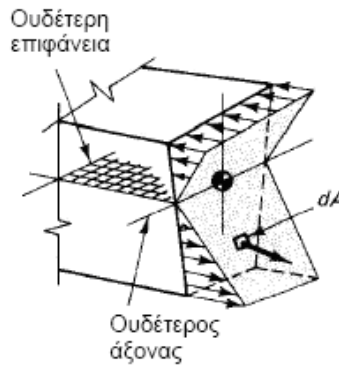
τάσεις, οι οποίες είναι ισοδύναμες με τα προαναφερθέντα εντατικά μεγέθη. Η ισοδυναμία αυτή σημαίνει ότι το άθροισμα όλων των ορθών τάσεων ισούται με την αξονική δύναμη, δηλαδή μηδέν, ενώ το άθροισμα των ροπών που δίνουν όλες οι ορθές τάσεις ισούται με τη ροπή κάμψης. Σύμφωνα με τη συνθήκη ισορροπίας δυνάμεων στη διεύθυνση  $x$  (το άθροισμα όλων των ορθών τάσεων σε μία διατομή ισούται με την αξονική δύναμη στην εν λόγω διατομή) γράφουμε

$$\oint_A \sigma_x dA = 0 \quad \text{ή} \quad \oint_A \sigma_x \frac{E y}{r} dA = - \frac{E}{r} \oint_A \sigma_y dA = 0 \quad 1.5$$

όπου  $A$  το εμβαδόν της επιφάνειας της διατομής πάνω στην οποία αθροίζονται όλες οι ορθές τάσεις. Το τελευταίο ολοκλήρωμα της εξίσωσης (1.5) ισούται, εξ ορισμού, με  $y_A$ , όπου  $y$  η απόσταση του κέντρου βάρους της διατομής από την αρχή του άξονα  $y$ . Έτσι, για να είναι το ολοκλήρωμα ίσο με μηδέν θα πρέπει να ισχύει  $y = 0$ , επομένως ο άξονας  $z$  διέρχεται από το **κέντρο βάρους** της διατομής. Σημειώνοντας ότι και ο άξονας  $y$ , ως άξονας συμμετρίας της διατομής, διέρχεται από το κέντρο βάρους, συμπεραίνουμε ότι οι άξονες  $y$ - $z$  είναι **κεντροβαρικοί**. Σύμφωνα με την εξίσωση (1.4), η ορθή τάση  $\sigma_x$  και η ορθή παραμόρφωση  $\epsilon_x$  πάνω στον άξονα  $z$ , όπου  $y = 0$ , είναι ίσες με μηδέν. Ο άξονας  $z$  ονομάζεται **ουδέτερος άξονας**. Από την εξίσωση (1.3) συνάγεται ότι οι ορθές παραμορφώσεις μεταβάλλονται γραμμικά με την απόσταση από τον ουδέτερο άξονα, όπως φαίνεται γραφικά στο **Σχ. 1.1γ**. Αντίστοιχη, δηλαδή γραμμική, είναι και η μεταβολή των ορθών τάσεων, λόγω της εξίσωσης (1.4). Η κατανομή των ορθών τάσεων δείχνεται στο **Σχ. 1.1δ** και σε διάφορες ισοδύναμες παραστάσεις στο **Σχ. 1.2**, για δοκό ορθογωνικής διατομής. Σε όλα αυτά τα σχήματα φαίνεται ένα μικρό τμήμα της δοκού που ορίζεται από δύο τομές κατά μήκος, μία στα αριστερά, όπου δρα θετική ροπή κάμψης  $M_z$ , και μία στα δεξιά, όπου δρουν οι ορθές τάσεις  $\sigma_x$ . Σημειώνουμε ότι το πρόβλημα στην πραγματικότητα είναι τρισδιάστατο, δηλαδή μπορούμε να φανταστούμε τις ορθές τάσεις ως διανύσματα κάθετα σε κάθε σημείο της διατομής, με κατανομή όπως φαίνεται στα **Σχ. 1.2γ (ή δ)**. Επειδή όμως η κατανομή των τάσεων είναι ίδια σε κάθε επίπεδο κάθετο στον άξονα  $z$ , δηλαδή ανεξάρτητη του  $z$ , συνήθως προτιμούμε την παράσταση των τάσεων στο επίπεδο (**Σχ. 1.2α ή β**), ως γραφικά ευκολότερη. Το επίπεδο που ορίζουν οι ουδέτεροι άξονες όλων των διατομών της δοκού, δηλαδή το επίπεδο  $x$ - $z$  ονομάζεται **ουδέτερο επίπεδο**. Η επιφάνεια τομής του ουδέτερου επιπέδου με τη δοκό ονομάζεται **ουδέτερη επιφάνεια**.



**Σχήμα 1- 2** Ισοδύναμες παραστάσεις των ορθών τάσεων σε ορθογωνική διατομή δοκού

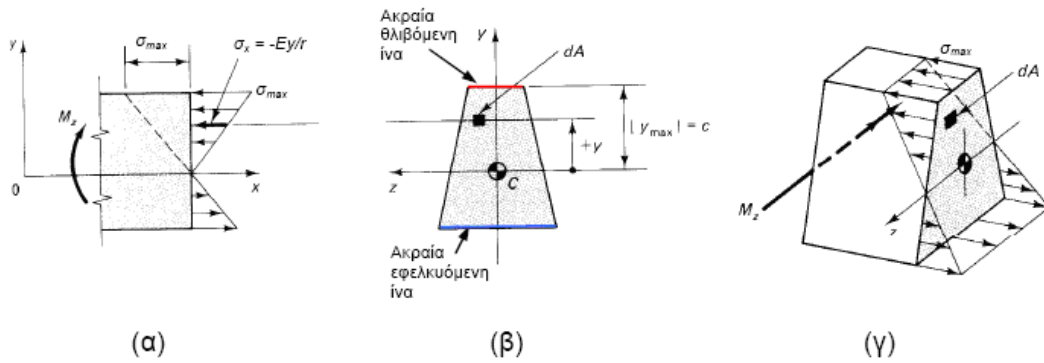


**Σχήμα 1- 3** Τρισδιάστατη παράσταση ορθών τάσεων, ουδέτερος άξονας και ουδέτερη επιφάνεια.

Το επόμενο βήμα στην ανάλυσή μας είναι η μαθηματική διατύπωση της συνθήκης ισορροπίας ροπών. Για το τμήμα της δοκού στο Σχ. 1.4α η ισορροπία ροπών γράφεται ως εξής:

$$M_z = - \int_A (s_x dA) y \quad \text{P} \quad M_z = \frac{E}{r} \int_A y^2 dA \quad 1.6$$

Σημειώνουμε ότι το αρνητικό πρόσημο στην εξίσωση (1.6) προκύπτει λόγω του ότι θετικό  $s_x dA$  (εφελκυστική δύναμη ανά μονάδα επιφάνειας) και θετικό  $y$  αντιστοιχούν σε δεξιόστροφη, δηλαδή αρνητική ροπή. Έτσι με την αλλαγή πρόσημου η ροπή γίνεται αριστερόστροφη, δηλαδή θετική.



Σχήμα 1- 4 2 Τμήμα δοκού σε καθαρή κάμψη

Στη μηχανική, το ολοκλήρωμα στο δεξιό μέρος της εξ. (1.6) ονομάζεται **δευτεροβάθμια ροπή επιφάνειας** ή **ροπή αδράνειας** και συμβολίζεται με  $I$ . Επειδή η ροπή αδράνειας αναφέρεται σε συγκεκριμένο άξονα, τον *ουδέτερο άξονα*  $Z$  στη συγκεκριμένη περίπτωση, το  $I$  συνοδεύεται από ένα δείκτη που καθορίζει τον άξονα ως προς τον οποίο γίνεται ο υπολογισμός του:

$$I_z = \int_A y^2 dA$$

1.7

Με βάση τον ορισμό της ροπής αδράνειας  $I_z$ , η εξίσωση(1.6) δίνει:

$$\frac{1}{r} = \frac{M_z}{EI_z}$$

1.8

Η τελευταία σχέση είναι ιδιαίτερα χρήσιμη: συνδέει την ακτίνα καμπυλότητας με τη ροπή κάμψης (ως αποτέλεσμα των εξωτερικών φορτίων), το μέτρο ελαστικότητας του υλικού και τα γεωμετρικά χαρακτηριστικά της διατομής της δοκού, όπως αυτά περιγράφονται από τη ροπή αδράνειας. Τέλος, συνδυάζοντας τις εξίσωση (1.8) και (1.4) καταλήγουμε στην εξαιρετικά σημαντική σχέση ελαστικής κάμψης δοκών:

$$s_x = - \frac{M_z}{I_z} y$$

1.9

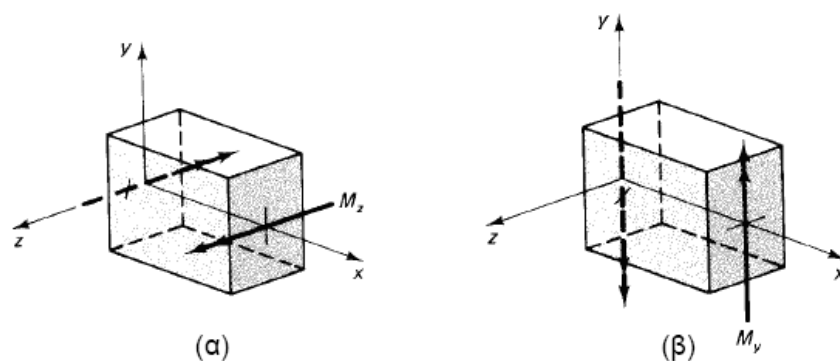
Μέσω της εξίσωσης (1.9) υπολογίζεται η ορθή τάση σε οποιοδήποτε σημείο μίας διατομής με γνωστές ποσότητες τη ροπή κάμψης, τη ροπή αδράνειας ως προς τον ουδέτερο άξονα και την απόσταση του σημείου αυτού από τον ουδέτερο άξονα. Αξίζει να παρατηρήσουμε

ότι θετική  $M_z$  δίνει θετικές (εφελκυστικές) τάσεις κάτω από τον ουδέτερο άξονα (αρνητικό  $y$ ) και αρνητικές (θλιπτικές) πάνω από τον ουδέτερο άξονα. Η εξίσωση (1.9) αποδείχθη για κάμψη της δοκού κατά την οποία τα εξωτερικά φορτία προκαλούν ροπές κάμψης ως προς τον άξονα  $z$  (βλ. Σχ. 1.5α, στο οποίο φαίνεται και το διάνυσμα θετικής ροπής  $M_z$ ). Αν η διατομή έχει ως άξονα συμμετρίας εκτός από τον άξονα  $y$  και τον άξονα  $z$  (π.χ. ορθογωνική διατομή) και τα εξωτερικά φορτία είναι τέτοια ώστε να προκαλούν ροπή κάμψης ως προς τον άξονα  $y$  (βλ. Σχ. 1.5β, στο οποίο φαίνεται το διάνυσμα θετικής ροπής  $M_y$ ), η αντίστοιχη σχέση για τις ορθές τάσεις είναι:

$$s_x = +\frac{M_y}{I_y} Z$$

1.10

Η αλλαγή προσήμου στην εξίσωση (1.10) είναι απαραίτητη ώστε για θετική ροπή  $M_y$  να προκύπτουν θετικές (εφελκυστικές) τάσεις στα σημεία με θετικό  $z$  και αρνητικές (θλιπτικές) στα σημεία με αρνητικό  $z$ . Ένας δεύτερος τρόπος να καταλάβουμε το αντίθετο πρόσημο της εξίσωση (1.10) είναι να φανταστούμε ότι το τμήμα της δοκού στο Σχ. 1.5β περιστρέφεται κατά 90° αριστερόστροφα ως προς άξονα  $x$ . Αν γίνει αυτό, η εικόνα καταπόνησης της δοκού είναι ακριβώς ίδια με αυτήν του Σχ. 1.5α, ο άξονας  $y$  συμπίπτει με τον  $z$  του Σχ. 1.5α και ο  $z$  με τον  $-y$  του Σχ. 1.5α. Συνεπώς για την καταπόνηση του Σχ. 1.5β μπορεί να εφαρμοστεί η εξίσωση (1.9) με  $M_y$  αντί  $M_z$ ,  $I_y$  αντί  $I_z$  και  $-Z$  αντί  $y$ . Περισσότερα για την κάμψη δοκών λόγω ροπής  $M_y$  δίνονται σε παρακάτω ενότητα.



Σχήμα 1- 5 3 Ορισμός θετικών ροπών για κάμψη ως προς άξονα (α)  $z$  και (β)  $y$

Εξετάζοντας και πάλι την εξίσωση(1.9) παρατηρούμε ότι η μέγιστη θλιπτική τάση  $s_{c,max}$  στη διατομή δρα εκεί όπου το  $y$  είναι θετικό και μέγιστο (έστω ίσο με  $C_c$ ), δηλαδή σε όλα τα σημεία της πάνω πλευράς της διατομής. Η πλευρά αυτή αποτελεί τη λεγόμενη **ακραία θλιβόμενη ίνα** (Σχ. 1.4β). Αντίστοιχα, η μέγιστη εφελκυστική τάση  $s_{t,max}$  στη διατομή δρα εκεί όπου το  $y$  είναι αρνητικό και κατ' απόλυτη τιμή μέγιστο (έστω ίσο με  $C_t$ ), δηλαδή σε όλα τα σημεία της κάτω πλευράς της διατομής. Η πλευρά αυτή αποτελεί τη λεγόμενη **ακραία εφελκυσόμενη ίνα** (Σχ. 1.4β). Η κατ' απόλυτη τιμή μέγιστη ορθή τάση δρα εκεί όπου το  $y$  είναι κατ' απόλυτη τιμή μέγιστο. Συμβολίζοντας τη μέγιστη αυτή τιμή  $y_{max}$  ίση με  $C$  και παραλείποντας (για απλότητα) τους δείκτες, έχουμε:

$$s_{max} = \frac{M}{I} C = \frac{M}{\frac{\rho I}{C}} = \frac{M}{Z_{el}}$$

1.11

Ο λόγος της ροπής αδράνειας προς τη μέγιστη απόσταση από τον ουδέτερο άξονα ονομάζεται **ελαστική ροπή αντίστασης** ή **ελαστικό μέτρο διατομής** και συμβολίζεται με το  $Z_{el}$ . Αν η απόσταση  $C_t$  είναι διαφορετική από την  $C_c$ , τότε ορίζονται δύο ελαστικές ροπές αντίστασης,  $Z_{el,t}$  και  $Z_{el,c}$ , για τη μέγιστη εφελκυστική τάση και τη μέγιστη θλιπτική τάση, αντίστοιχα:  $Z_{el,t} = \frac{I}{C_t}$ ,  $Z_{el,c} = \frac{I}{C_c}$ . Μία από τις βασικές υποθέσεις της τεχνικής θεωρίας για την καθαρή κάμψη δοκών είναι ότι οι μόνες τάσεις που αναπτύσσονται είναι οι  $s_x$ , ενώ όλες οι άλλες είναι μηδέν ( $s_y = s_z = t_{xy} = t_{xz} = t_{yz} = 0$ ). Οι τάσεις  $s_x$  συνοδεύονται από παραμορφώσεις  $e_x$  και, με βάση το λόγο Poisson, από εγκάρσιες παραμορφώσεις  $e_y = e_z = -\nu e_x$ . Αυτό σημαίνει ότι η διατομή πάνω από τον ουδέτερο άξονα (στη θλιβόμενη περιοχή) “διογκώνεται” στην εγκάρσια διεύθυνση, αλλά κάτω από τον ουδέτερο άξονα “συστέλλεται”, όπως δείχνει το Σχ. 1.1. Επειδή δε οι εγκάρσιες παραμορφώσεις αυξάνονται γραμμικά με την απόσταση από τον ουδέτερο άξονα (όπως και οι  $e_x$ ), στη δοκό αναπτύσσεται και μία δευτερεύουσα καμπυλότητα, πάνω στο επίπεδο  $y-z$  (Σχ. 1.6), που όμως δεν έχει πρακτική σημασία και γενικά αμελείται. Εν περιλήψει, στην πορεία εξαγωγής της βασικής εξίσωσης(1.9) για την κάμψη δοκών υιοθετήθηκαν τρεις βασικές συνθήκες, όπως ακριβώς έγινε και στην ανάλυση ράβδων υπό μονοαξονική φόρτιση και όπως θα γίνει και σε επόμενα κεφάλαια για άλλου

είδους καταπονήσεις (π.χ. στρέψη):

*Συνθήκες στατικής ισορροπίας, για τον προσδιορισμό της ροπής κάμψης σε μία διατομή.*

1. Γεωμετρικές (κινηματικές) συνθήκες, μέσω της υπόθεσης ότι επίπεδες διατομές πριν την κάμψη παραμένουν επίπεδες και μετά την παραμόρφωση της δοκού. Αυτό οδήγησε στο συμπέρασμα ότι οι ορθές παραμορφώσεις μεταβάλλονται γραμμικά με την απόσταση από τον ουδέτερο άξονα.

2. Καταστατικοί νόμοι των υλικών (νόμος του Hooke), μέσω των οποίων έγινε συσχέτιση των ορθών παραμορφώσεων με τις ορθές τάσεις.

Σημειώνουμε και πάλι ότι η παραπάνω ανάλυση ισχύει επακριβώς για ελαστικές δοκούς σε καθαρή κάμψη, αλλά με καλή προσέγγιση και για δοκούς σε συνήθη κάμψη. Τέλος επισημαίνουμε ότι σε περιοχές εφαρμογής συγκεντρωμένων ροπών ή δυνάμεων ενδέχεται να εμφανίζονται ανωμαλίες στην κατανομή των τάσεων, όπως και στη μονοαξονική φόρτιση. Οι ανωμαλίες αυτές επηρεάζουν γενικά μικρές περιοχές της δοκού, οι οποίες, βάσει της αρχής του *Saint Venant*, εντοπίζονται σε μήκος της δοκού περίπου ίσο με το ύψος.

#### 1.4 Κέντρο βάρους διατομής, πρωτοβάθμιες ροπές και ροπές αδράνειας

Στα προηγούμενα αναφέρθηκε ότι ο ουδέτερος άξονας διέρχεται από το κέντρο βάρους. Επίσης ορίστηκε η ροπή αδράνειας ως προς άξονα (τον ουδέτερο άξονα της διατομής) και έγινε χρήση της για τον υπολογισμό των ορθών τάσεων. Η λεπτομερής διαδικασία εύρεσης κέντρου βάρους διατομής και ροπών αδράνειας δεν αποτελεί αντικείμενο αυτού του συγγράμματος, αλλά για λόγους πληρότητας περιλαμβάνεται στην ενότητα αυτή με τρόπο συνοπτικό.

##### 1.4.1 Πρωτοβάθμιες ροπές επιφάνειας και κέντρο βάρους

Θεωρούμε μία τυχαία διατομή με εμβαδόν  $A$  πάνω στο επίπεδο με σύστημα αξόνων  $y$ - $z$  (Σχ. 1.7). Η πρωτοβάθμια ή στατική ροπή της συνολικής επιφάνειας  $A$  ως προς τον άξονα  $z$  υπολογίζεται αθροίζοντας τις πρωτοβάθμιες ροπές όλων των στοιχείων της διατομής με εμβαδόν  $dA$ , κάθε μία από τις οποίες ισούται με τον εμβαδόν  $dA$  επί την απόσταση  $y$ .

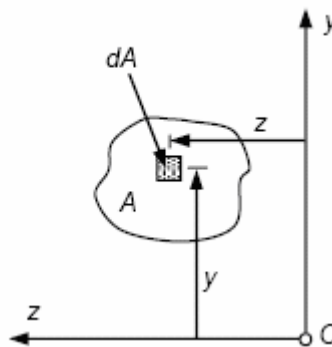
$$S_z = \int_A y dA = \int_A y dA$$

1.12α

Ομοίως για τον άξονα  $y$  :

$$S_y = \int_A z dA = \int_A z dA$$

1.12β



Σχήμα 1- 6 Επιφάνεια διατομής σε σύστημα αξόνων  $y-z$

Το κέντρο βάρους  $C$  της επιφάνειας  $A$  είναι χαρακτηριστικό σημείο της, με συντεταγμένες ( $y_c$  ,  $z_c$  ) που δίνονται από τις σχέσεις:

$$y_c = \frac{A \int y dA}{A} = \frac{S_z}{A} \qquad z_c = \frac{A \int z dA}{A} = \frac{S_y}{A} \qquad 1.13$$

Από τις εξίσωση (1.13) βλέπουμε ότι η πρωτοβάθμια ροπή μίας επιφάνειας ως προς έναν άξονα ισούται με το γινόμενο του εμβαδού της επιφάνειας και της απόστασης του κέντρου βάρους της από τον άξονα αυτόν. Επίσης συμπεραίνουμε ότι αν ο άξονας ως προς τον οποίο υπολογίζεται η πρωτοβάθμια ροπή διέρχεται από το κέντρο βάρους, η πρωτοβάθμια ροπή ως προς τον άξονα αυτόν ισούται με μηδέν. Συνεπώς αν μία επιφάνεια έχει έναν άξονα συμμετρίας, αυτός ο άξονας διέρχεται από το κέντρο βάρους της επιφάνειας και άρα η πρωτοβάθμια ροπή ως προς έναν άξονα συμμετρίας είναι πάντοτε ίση με μηδέν. Αν μία επιφάνεια μπορεί να υποδιαιρεθεί σε τμήματα απλού σχήματος (π.χ. ορθογώνια παραλληλόγραμμα, τρίγωνα κλπ) των οποίων τα εμβαδά και τα κέντρα βάρους μπορούν εύκολα να καθορισθούν, η πρωτοβάθμια ροπή της συνολικής επιφάνειας μπορεί να υπολογισθεί αθροίζοντας τις πρωτοβάθμιες ροπές

των επιμέρους τμημάτων ως προς τον ίδιο άξονα:

$$S_Z = \sum_{i=1}^n S_{Z,I} \quad S_Y = \sum_{I=1}^n S_{Y,I} \quad 1.14$$

Αν τα εμβαδά των επιμέρους τμημάτων μιας επιφάνειας  $A$  είναι  $A_1, A_2, \dots, A_n$  και οι αποστάσεις των κέντρων βάρους τους από τον άξονα  $z$  είναι  $y_{C1}, y_{C2}, \dots, y_{Cn}$  και από τον άξονα  $y$  είναι  $z_{C1}, z_{C2}, \dots, z_{Cn}$ , τότε οι εκφράσεις (1.14) μπορούν να γραφούν ως εξής:

$$S_Z = A y_C = A_1 y_{C1} + A_2 y_{C2} + \dots + A_n y_{Cn} = \sum_{i=1}^n A_i y_{Ci} \quad 1.15\alpha$$

$$S_Y = A z_C = A_1 z_{C1} + A_2 z_{C2} + \dots + A_n z_{Cn} = \sum_{i=1}^n A_i z_{Ci} \quad 1.15\beta$$

Συνεπώς, οι συντεταγμένες του κέντρου βάρους  $C$  της επιφάνειας  $A$  ως προς το σύστημα αξόνων  $y-z$  δίνονται από τις σχέσεις:

#### 1.4.2 Δευτεροβάθμιες ροπές επιφάνειας

Θεωρούμε και πάλι τυχαία διατομή με εμβαδόν  $A$  πάνω στο επίπεδο με σύστημα αξόνων  $y-z$  (Σχ. 1.7). Η **δευτεροβάθμια ροπή** ή **ροπή αδράνειας** της επιφάνειας  $A$  ως προς τον άξονα  $z$  υπολογίζεται αθροίζοντας τις δευτεροβάθμιες ροπές όλων των στοιχείων της διατομής με εμβαδόν  $dA$ , κάθε μία από τις οποίες ισούται με τον εμβαδόν  $dA$  επί  $y^2$ .

$$I_z = \int_A y^2 dy = \int_A y^2 dA \quad 1.17\alpha$$

Ομοίως για τον άξονα  $y$ :

$$I_y = \int_A z^2 dz = \int_A z^2 dA$$

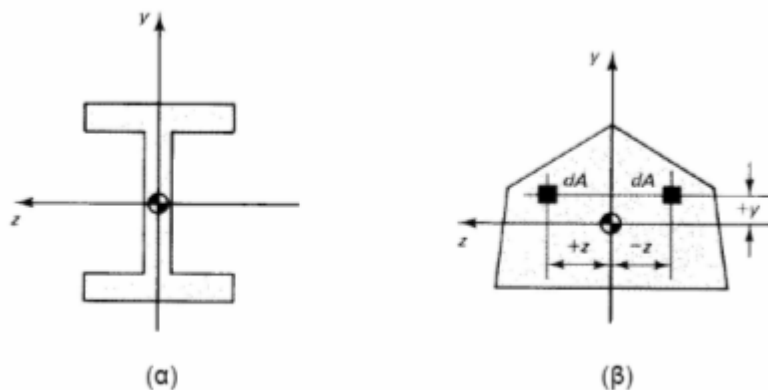


Αντιστοίχως ορίζεται και η **φυγόκεντρος ροπή** ή **ροπή εκτροπής** της επιφάνειας  $A$  ως προς τους άξονες  $y$  και  $z$ . Αυτή υπολογίζεται αθροίζοντας τις ροπές εκτροπής όλων των στοιχείων της διατομής με εμβαδόν  $dA$ , κάθε μία από τις οποίες ισούται με το εμβαδόν  $dA$  επί  $yz$

$$I_{yz} = \int_A yz \, dA$$

1.17γ

Η εξίσωση (1.17γ) οδηγεί στο συμπέρασμα ότι **αν ένας τουλάχιστον από τους άξονες  $y$  και  $z$  είναι άξονας συμμετρίας η ροπή εκτροπής είναι μηδέν**. Αυτό φαίνεται εύκολα στη διατομή του **Σχ. 1.7β** με άξονα συμμετρίας έστω τον άξονα  $y$ , όπου λόγω συμμετρίας για κάθε  $y(+z)dA$  υπάρχει και ένα  $y(-z)dA$ , και το άθροισμά τους δίνει μηδέν.



**Σχήμα 1- 7 Διατομή με (α) διπλή και (β) απλή συμμετρία**

Τέλος ορίζεται η δευτεροβάθμια ροπή επιφάνειας ως προς άξονα  $x$  ή **πολική ροπή  $J$**  με τρόπο αντίστοιχο, μόνο που το γινόμενο που ολοκληρώνεται είναι  $r^2 dA$ , όπου  $r$  η απόσταση του  $dA$  από τον άξονα  $x$  (κάθετος στο επίπεδο  $y-z$  και προς τα έξω):

$$J = \int_A r^2 \, dA$$

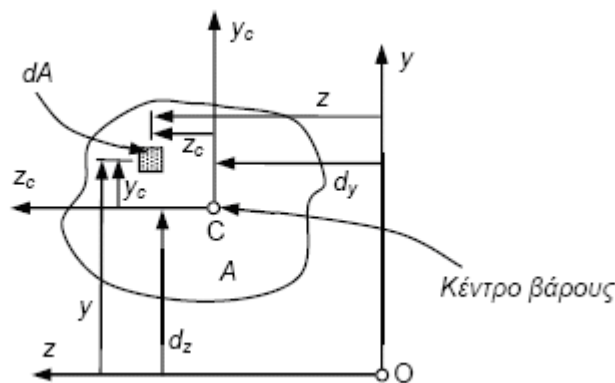
1.18

Από τις εξίσωση (1.17α-β) και (1.18) διαπιστώνουμε ότι η πολική ροπή αδράνειας  $J$  ισούται με το άθροισμα των ροπών αδράνειας  $I_y$  και  $I_z$ :

$$J = \int_A \rho^2 dA = \int_A (y^2 + z^2) dA = I_y + I_z$$

1.19

Αν οι άξονες  $y$  και  $z$  διέρχονται από το κέντρο βάρους της επιφάνειας  $A$ , δηλαδή είναι κεντροβαρικοί άξονες, οι αντίστοιχες δευτεροβάθμιες ροπές καλούνται **κεντροβαρικές δευτεροβάθμιες ροπές**. Σε πολλές περιπτώσεις οι κεντροβαρικές ροπές είναι γνωστές (ή εύκολα υπολογίσιμες) και ζητείται ο υπολογισμός των δευτεροβάθμιων ροπών ως προς ένα άλλο σύστημα αξόνων, μη κεντροβαρικό. Η μέθοδος υπολογισμού δίνεται παρακάτω. Θεωρούμε διατομή με εμβαδόν  $A$  πάνω στο επίπεδο με τυχαίο σύστημα αξόνων  $y-z$  και κεντροβαρικό σύστημα αξόνων  $y_c-z_c$ . Οι άξονες  $z_c$  και  $y_c$  απέχουν απόσταση  $d_z$  και  $d_y$  από τους άξονες  $z$  και  $y$ , αντίστοιχα (Σχ. 1.8). Έστω ότι οι κεντροβαρικές δευτεροβάθμιες ροπές είναι  $I_{z_c}$ ,  $I_{y_c}$  και  $I_{y_c z_c}$ . Το ζητούμενο είναι οι  $I_z$ ,  $I_y$  και  $I_{yz}$  ως προς το σύστημα αξόνων  $y-z$ . Εξ ορισμού γράφουμε:



Σχήμα 1- 8 Επιφάνεια διατομής σε σύστημα αξόνων  $y-z$

$$I_z = \int_A \rho^2 dA = \int_A (y_c + d_z)^2 dA = \int_A y_c^2 dA + 2d_z \int_A y_c dA + d_z^2 \int_A dA$$

1.20

Το πρώτο από τα ολοκληρώματα στο δεξιό μέρος της παραπάνω εξίσωσης είναι η κεντροβαρική δευτεροβάθμια ροπή  $I_{z_c}$ , το δεύτερο ισούται με μηδέν (διότι αντιπροσωπεύει την πρωτοβάθμια ροπή ως προς κεντροβαρικό άξονα) και το τρίτο ισούται με το εμβαδόν  $A$ . Έτσι είναι

$$I_z = I_{z_c} + d_z^2 A$$

1.21α

Με τον ίδιο τρόπο δείχνουμε ότι

$$I_y = I_{y_c} + d_y^2 A$$

1.21β

$$I_{yz} = I_{y_c z_c} + d_y d_z A$$

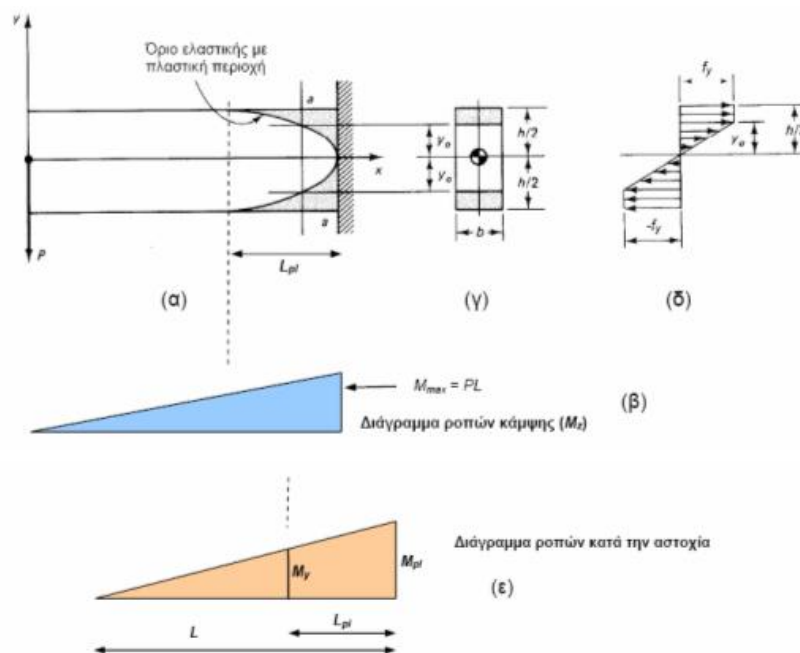
1.21γ

Οι παραπάνω εξίσωση (1.21) αποτελούν τη μαθηματική διατύπωση του θεωρήματος που είναι γνωστό ως **θεώρημα παραλλήλων αξόνων** ή **θεώρημα του Steiner** και διευκολύνουν στον υπολογισμό δευτεροβάθμιων ροπών ως προς μη κεντροβαρικό σύστημα αξόνων. Από τις εξίσωση (1.21α-β) συμπεραίνουμε ότι οι ροπές αδράνειας  $I_{z_c}$  και  $I_{y_c}$  είναι πάντα μικρότερες από οποιεσδήποτε άλλες ως προς άξονες παράλληλους με τους  $z$  και  $y$ , αντίστοιχα.

## 1.8 Πλαστική ανάλυση δοκού ή ανάλυση για την οριακή κατάσταση αντοχής

Με τον όρο **πλαστική ανάλυση** ή **πλαστική μελέτη** ή **ανάλυση για την οριακή κατάσταση αντοχής** εννοούμε συνήθως τις μεθόδους που χρησιμοποιούμε για τον καθορισμό των μέγιστων φορτίων που μπορεί να παραλάβει μία κατασκευή, θεωρώντας ότι οι παραμορφώσεις στα υλικά φθάνουν στις μέγιστες δυνατές τιμές τους. Είναι γεγονός ότι η σχετική περιπλοκότητα του αντικειμένου δεν επιτρέπει εκτενή κάλυψη στα πλαίσια αυτού του συγγράμματος, γι αυτό και εδώ, μέσω ενός απλού παραδείγματος, θα περιορισθούμε μόνο στην ανάδειξη ορισμένων από τις βασικές αρχές της πλαστικής ανάλυσης. Θεωρούμε ότι ο πρόβολος του **Σχ. 1.9α** έχει μήκος  $L$  και καταπονείται σε κατακόρυφη συγκεντρωμένη δύναμη  $P$  στο ελεύθερο άκρο. Το υλικό του προβόλου θεωρείται ελαστοπλαστικό με ίση τάση διαρροής σε θλίψη και εφελκυσμό ( $f_y$ ). Το ζητούμενο είναι ο υπολογισμός της μέγιστης δύναμης που μπορεί να ασκηθεί στον πρόβολο και ο προσδιορισμός της περιοχής του προβόλου όπου κατά την αστοχία θα έχουν αναπτυχθεί πλαστικές παραμορφώσεις, δηλαδή οι τάσεις στο υλικό θα είναι ίσες με την τάση διαρροής. Από το διάγραμμα ροπών κάμψης κατά μήκος του στοιχείου (δίνεται στο **Σχ. 1.9β**) βλέπουμε ότι η μέγιστη ροπή κάμψης αναπτύσσεται στη διατομή της πάκτωσης και έχει τιμή  $M_{max} = PL$ . Η διατομή αυτή καταπονείται εντονότερα από οποιαδήποτε άλλη, για αυτό και εκεί μας ενδιαφέρει ο υπολογισμός των τάσεων. Αν

φανταστούμε την  $P$  να αυξάνεται σταδιακά από την τιμή μηδέν, για κάποια συγκεκριμένη τιμή της  $P$  η ροπή  $M_{max}$  γίνεται ίση με  $M_y$ , δηλαδή η μέγιστη τάση στην ακραία ίνα της διατομής πάκτωσης (πάνω και κάτω) μόλις που φθάνει την τάση διαρροής. Η τιμή αυτή ονομάζεται φορτίο διαρροής και συμβολίζεται με  $P_y$ . Όταν συμβεί αυτό ισχύει  $M_y = P_y L$ . Για  $P < P_y$  στη διατομή της πάκτωσης αρχίζει να εμφανίζεται πλαστική περιοχή, όπου οι τάσεις είναι ίσες με την τάση διαρροής. Η μέγιστη τιμή της δύναμης  $P$  αναπτύσσεται όταν η πλαστική περιοχή στη διατομή της πάκτωσης καλύψει ολόκληρη τη διατομή, οπότε οι τάσεις θα είναι παντού (στη συγκεκριμένη διατομή μόνο) ίσες με την τάση διαρροής. Η τιμή αυτή, που ονομάζεται **φορτίο αστοχίας** ή **φορτίο κατάρρευσης**, και συμβολίζεται με  $P_u$ , δίνεται από τη σχέση  $M_{pl} = P_u L$ .



**Σχήμα 1- 9 Μήκος πλαστικοποίησης σε πρόβολο από ελαστικοπλαστικό υλικό**

Παρατηρώντας το διάγραμμα ροπής κάμψης για  $P < P_y$  και  $P < P_u$  (Σχ. 1.9ε) συμπεραίνουμε ότι κατά την αστοχία η διαρροή του υλικού έχει επεκταθεί όχι μόνο σε όλο το ύψος της διατομής πάκτωσης αλλά και σε όλες τις γειτονικές διατομές όπου  $M < M_y$  (Σχ. 1.9α). Ο βαθμός πλαστικοποίησης στις διατομές αυτές (δηλαδή το εύρος των πλαστικών περιοχών, εκεί όπου η τάση έχει φθάσει την τάση διαρροής) εξαρτάται από την τιμή της ροπής. Στη διατομή πάκτωσης όπου  $M < M_{pl}$  η πλαστικοποίηση είναι πλήρης, ενώ στη διατομή όπου  $M < M_y$  δεν υφίσταται πλαστική περιοχή. Σε οποιαδήποτε ενδιάμεση διατομή, έστω την  $a - a$  του Σχ. 1.25α, η πλαστική περιοχή (πάνω και κάτω τμήματα στο Σχ. 1.25γ) και η ελαστική περιοχή μπορούν να βρεθούν με βάση τη ροπή  $M$  και την κατανομή ορθών τάσεων στη συγκεκριμένη διατομή (Σχ. 1.9δ). Από τα Σχ. 1.9β-γ

γράφουμε:

$$|M| = 2 \int_{y_0}^{y_0} \frac{\partial^2 y}{\partial x^2} f_y \frac{\partial}{\partial y} (b dy) + 2 \int_{y_0}^h \frac{\partial^2 y}{\partial x^2} f_y (b dy) = \frac{bh^2}{4} f_y - \frac{by_0^2}{3} f_y = M_{pl} - \frac{by_0^2}{3} f_y \quad 1.33$$

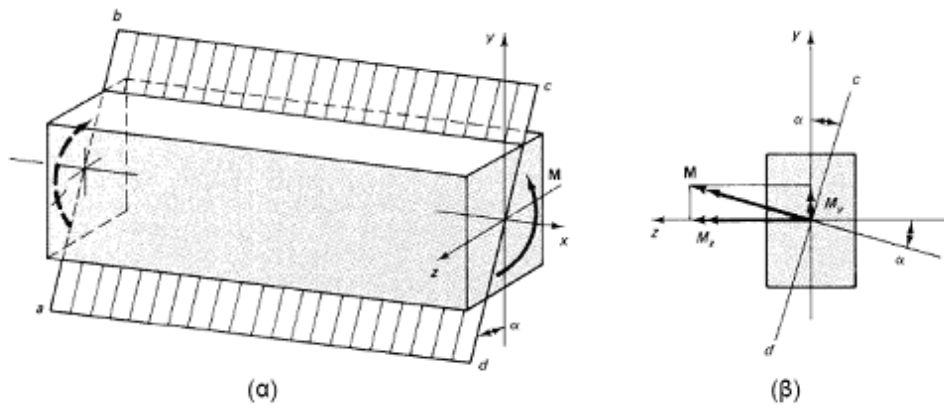
Από την εξίσωση (1.33) για δεδομένη ροπή  $M$  ( $M_y \leq M \leq M_{pl}$ ) μπορεί να υπολογισθεί το  $y_0$  και άρα το ύψος της ελαστικής περιοχής ( $2y_0$ ) και κάθε τμήμα της πλαστικής περιοχής ( $h/2 - y_0$ ). Τέλος θα υπολογίσουμε το μήκος της δοκού στο οποίο κατά την αστοχία, δηλαδή όταν η ροπή κάμψης είναι  $M_{pl}$ , υπάρχει πλαστική περιοχή. Ουσιαστικά ζητάμε το τμήμα της δοκού όπου η ροπή κάμψης είναι μεγαλύτερη από τη ροπή διαρροής  $M_y$ . Το μήκος  $L_{pl}$  του τμήματος αυτού, γνωστό ως **μήκος πλαστικοποίησης**, υπολογίζεται από τα όμοια τρίγωνα του [Σχ. 1.9ε](#):

#### 1.4 Κάμψη ως προς τους κύριους άξονες

Η Ενότητα 1.9 περιγράφει τη γενική περίπτωση κάμψης δοκού ασύμμετρης διατομής ως προς τυχαίο σύστημα κεντροβαρικών αξόνων. Όπως είδαμε παραπάνω, αν οι άξονες εκτός από κεντροβαρικοί είναι και κύριοι, η ροπή εκτροπής  $I_{yz}$  είναι μηδέν. Στην περίπτωση αυτή η εξίσωση (1.44) απλοποιείται στη μορφή:

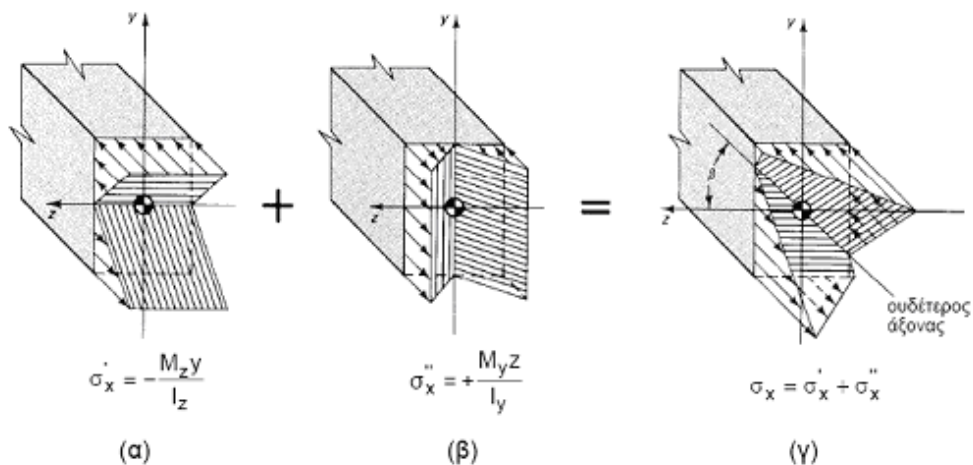
$$s_c = - \frac{M_z}{I_y} y + \frac{M_y}{I_x} z \quad 1.53$$

όπου  $M_z$  και  $M_y$  οι ροπές κάμψης στη διατομή ως προς τους κύριους κεντροβαρικούς άξονες  $z$  και  $y$ , αντίστοιχα. Ουσιαστικά η εξίσωση (1.53) δείχνει ότι η κάμψη στην περίπτωση αυτή μπορεί να θεωρηθεί ως επαλληλία δύο ανεξάρτητων περιπτώσεων κάμψης, με καθεμία ως προς έναν από τους κύριους άξονες [βλ. άθροισμα εξίσωση (1.9) – (1.10)]. Η εξίσωση (1.53) έχει συνήθη εφαρμογή σε προβλήματα δοκών στις οποίες η διατομή έχει άξονες συμμετρίας, όπως π.χ. η ορθογωνική διατομή του [Σχ. 1.3](#)



**Σχήμα 1- 10 Ασύμμετρη κάμψη δοκού διατομής με δυο άξονες συμμετρίας**

Στη δοκό του Σχ. 1-11, η ροπή  $M$  που ασκείται πάνω στο επίπεδο  $abcd$  (το οποίο σχηματίζει γωνία  $\alpha$  με τον άξονα  $z$ ) αναλύεται στα διανύσματα  $M_y$  ( $= M \sin \alpha$ ) και  $M_z$  ( $= M \cos \alpha$ ). Η τάση σε οποιοδήποτε σημείο της διατομής με συντεταγμένες  $y$  και  $z$  υπολογίζεται από την εξίσωση (1.53). Γραφικά, οι τάσεις λόγω  $M_z$  δίνονται στο Σχ. 1.11α και αυτές λόγω  $M_y$  στο Σχ. 1.11β, ενώ η επαλληλία τους (το άθροισμά τους) δίνεται στο Σχ. 1.11γ



**Σχήμα 1- 11 Επαλληλία ορθών τάσεων για κάμψη δοκού με διατομή διπλής συμμετρίας**

Η θέση του ουδέτερου άξονα προσδιορίζεται θέτοντας στην εξ. (1.46)  $I_{yz} = 0$ :

$$\tan b = \frac{M_y I_z}{M_z I_y} = \frac{M \sin a I_z}{M \cos a I_y} \Rightarrow \tan b = \frac{I_z}{I_y} \tan a \quad 1.54$$

Η τελευταία σχέση δείχνει ότι εκτός αν ισχύει  $I_z = I_y$ , ή αν η γωνία  $\alpha$  είναι  $0^\circ$  ή  $90^\circ$  (οπότε έχουμε μονοαξονική κάμψη), η γωνία που σχηματίζει ο ουδέτερος άξονας διαφέρει από τη γωνία που σχηματίζει το επίπεδο κάμψης.

## 1.5 Εφαρμογή του προγράμματος Runet σε δομικές κατασκευές

### Εφαρμογή 1<sup>η</sup>

Επίλυση προβλήματος **υποστυλώματος** σε διαξονική κάμψη

Οι διαστάσεις της διατομής είναι 30x30 cm. Κατακόρυφο φορτίο 200 kN, Διαξονική ροπή κάμψη 50 Kn m. Beton C25/30, χάλυβας B500C, συντελεστές ασφαλείας  $\gamma_c=1,5$  και  $\gamma_s=1,15$ . Ύψος L=3 m.

Τα αποτελέσματα δείχνονται στην Εικόνα 1-1.

στυλωση σε διαξονική κάμψη (EC2 EN1992-1-1:2004, ECD EN1990:2002, -HA-EL:2010)

Όνομα τμήματος υπολογισμών: ΥΠΟΣΤ-001

Σκυρόδεμα/χάλυβας: C25/30 - B500C

Επιμέρους συντελεστές ασφαλείας γ<sub>c</sub> (5.4.2.4): γ<sub>c</sub>= 1.50, γ<sub>s</sub>= 1.15

Κατηγορία περιβάλλοντος: ΧC1

Επιτόλιμη οπλισμού (EC2 5.4.4.1) [mm]: Όνομα= 20, mm

Επιμέρητη διάμετρος οπλισμού [mm]: 20, mm, σταθ.

Πίνακας οπλισμού στα πεδία:

Διάταξη οπλισμού:

Διαστάσεις διατομής [m]: b= 0.300, m= 0.300, D= 0.300

Κατακόρυφο φορτίο και ροπή: [μόνιμη δύναμη] Ned= 200.00 [kN], [επίμερη] Ved= 0.00 [kN], [μόνιμη] Meds= 50.00 [kNm], Med2= 50.00 [kNm]

Μήκος υποστυλώματος: L= 3.000 [m], Αριθμός υποστυλ. 1

Αριθμός υποδιαστάσεων ανά πλευρά υποστυλώματος για αριθμητική οπλοδότηση: ημερη 10

## Αποτελέσματα

Σκυρόδεμα-Χάλυβας : C25/30-B500C (EC2 §3)  
 Κατηγορία περιβάλλοντος : XC1 (EC2 §4.4.1)  
 Επικάλυψη οπλισμού :  $C_{nom}=20$  mm (EC2 §4.4.1)  
 $\gamma_c=1.50$ ,  $\gamma_s=1.15$  (EC2 Πίνακας 2.1N)  
 $f_{cd}=\alpha_{cc} \cdot f_{ck}/\gamma_c=0.85 \times 25/1.50=14.17$  MPa (EC2 §3.1.6)  
 $f_{ctd}=\alpha_{ct} \cdot f_{ctk0.05}/\gamma_c=0.85 \times 1.8/1.50=1.02$  MPa (EC2 §3.1.6)  
 $f_{yd}=f_{yk}/\gamma_s=500/1.15=435$  MPa (EC2 §3.2.7)  
 Μέτρο Ελαστικότητας σκυροδέματος  $E_{cm}=31.0$  GPa  
**Διαστάσεις, φορτία**

Υποστυλμα ορθογωνικής διατομής  $b=0.300$  m,  $h=0.300$  m  
 Φορτία , Φορτία, αξονικό  $N_{ed}=200.00$  kN (θλίψη), ροπές  $M_{edxx}=50.00$  kNm,  $M_{edyy}=50.00$  kNm  
 Ωφέλιμο ύψος διατομής  $d=h-d_1$ ,  $d_1=d_2=C_{nom}+\beta_s+\beta/2=20+8+20/2=38$  mm,  $d_x=262$  mm,  $d_y=262$  mm  
**Διαστασιολόγηση για θλίψη με μικρή εκκεντρότητα (ULS)** (EC2 §6.1, §9.2.1)

**$N_{ed}=200.00$  kN,  $M_{ed,yy}=50.00$  kNm,  $M_{ed,zz}=50.00$  kNm**  
**Προσεγγιστική διαστασιολόγηση με Πίνακες ( $d_1/h=0.10$ )**  
*Kordina K, Bemessungshilfsmittel zu EC 2 Teil 1*  
*Planung von Stahlbeton ... , Berlin, Beuth, 1992*  
 $M_y/(b \cdot h^2 \cdot f_{cd})=0.11$ ,  $M_z/(b \cdot h^2 \cdot f_{cd})=0.11$ ,  $N/(b \cdot h \cdot f_{cd})=-0.13$   
 $A_s \cdot f_{yk}/(b \cdot h \cdot f_{ck})=0.35$ ,  $A_s=1207$  mm<sup>2</sup>,  $A_s/A_c=1.34\%$

### Διαστασιολόγηση με αριθμητική ολοκλήρωση

Διαγράμματα μονοαξονικής κάμψης  
 προερχόμενο από αριθμητική ολοκλήρωση με  
 χωρισμό σε  $10 \times 10=100$  τμήματα διατομής  
 $N_{ed}=200.00$  kN (θλίψη),  
 $M_{edyy}=50.00$  kNm,  $M_{edzz}=50.00$  kNm  
 C25/30-B500C  
 $b=300$  mm,  $h=300$  mm  
 $d_y=262$  mm,  $d_z=262$  mm,  $d_1=d_2=38$  mm  
 $d_1/h=0.127$ ,  $d_2/b=0.127$   
 $e_z=M_{edyy}/N_{ed}=50.00/200.00=0.250$  m=250 mm  
 $e_y=M_{edzz}/N_{ed}=50.00/200.00=0.250$  m=250 mm  
 $z_{sz}=h/2-d_1=300/2-38=112$  mm,  $e_z=250$  mm >  $z_{sz}=112$  mm  
 $z_{sy}=b/2-d_1=300/2-38=112$  mm,  $e_y=250$  mm >  $z_{sy}=112$  mm  
 $A_{s,tot}=1125$  mm<sup>2</sup>,  $A_{s,tot}/A_c=1.25\%$

**$A_{s,tot}=11.25$  cm<sup>2</sup>**

$N_{ed}=200.00 \leq 0.65 A_c f_{cd}=1000 \times 0.65 \times 0.300 \times 0.300 \times 16.67=975.20$  kN (EC8 §5.4.3.2.1, ΕΚΩΣ, §18.4.2)

Ελάχιστος διαμήκης οπλισμός,  $A_s \geq 0.0020 A_c$ , ( $Z_s \geq 8$ ,  $A_{s,min}=\{428 (2.01 \text{ cm}^2)\}$  (EC2 §9.5.2.2)  
 στις μη κρίσιμες περιοχές από 0.30m μέχρι H-0.30m : συνδετήρες  $\beta_s \geq 6$ ,  $S_{cl,t} \leq 300$  mm  
 στις κρίσιμες περιοχές [0-0.30m] και [H-0.30m, H] : συνδετήρες  $\beta_s \geq 6$ ,  $S_{cl,t} \leq 180$  mm  
 Βασικό μήκος αγκύρωσης  $L_{bd}=570$  mm =0.570 m (EC2 Εξ.8.3)

**Διαμήκης οπλισμός: 4 $\beta$ 20 (12.56 cm<sup>2</sup>)**

**Οπλισμός συνδετήρων: Συνδετήρες  $\beta$  8/30.0 [h:0.30m~H-0.30m],  $\beta$  8/18.0 [h:0~0.30m, H-0.30m~H]**  
 ΥΠΟΣΤ.-001

**Κατάλογος οπλισμού**

**Συμπέρασμα:** Για την ανωτέρω φόρτιση του υποστυλώματος απαιτείται οπλισμός 4 διαμήκη σίδερα  $\Phi$ 20 (20mm) και συνδετήρες  $\Phi$ 8 (8 mm) ανά 30 cm μεταξύ τους απόσταση.



## Εφαρμογή 2.

### Δοκός σε στρέψη-κάμψη και διάτμηση

**Δοκός τμήματος υπολογισμών** ΔΟΚΟΣ-001

Συνοδομοχάλυβας: C25/30 - B500C

Επιμέρους συντελεστές ασφαλείας γ<sub>m</sub> (EC2 §2.4.2.4): γ<sub>m</sub>= 1.50, γ<sub>m</sub>= 1.15

Κατηγορία περιβάλλοντος: XC1

Επιβλεψη οπλισμού (EC2 §4.4.1) (mm): Οπλισμ. 20

Επιβλεψη διάμετρος οπλισμού (mm) ομοιόμορφος: Ø 8, Ø 14, σταθ.

Απόσταση διατομή πλάτος άκρας (m): b= 0.250, h= 0.500

Συνοροδόμηνο πλάτος, πλάτος πλάτος (m): b<sub>eff</sub>= 1.250, h= 0.180

Είδος διατομής:

| Διάμετρος διατομής | Ροπή στρέψης [kNm]         | T <sub>d</sub> = 10.00  |
|--------------------|----------------------------|-------------------------|
|                    | Ροπή κάμψης [kNm]          | M <sub>d</sub> = 100.00 |
|                    | Τάση οριζόντια δύναμη [kN] | V <sub>d</sub> = 10.00  |

**ΔΟΚΟΣ - 001**

Διατομή δοκού σε στρέψη, κάμψη και διάτμηση  
(EC2 EN1992-1-1:2004, ECD EN1990:2002, ΝΑ-ΕΛΟΤ:2010)

b<sub>eff</sub>=0.2500 500 m, T<sub>d</sub>= 10.00 kNm,  
M<sub>d</sub>=100.00 kNm, V<sub>d</sub>= 10.00 kN  
Υπολογισμοί οπλισμένου σκυροδέματος

Συνοδομοχάλυβας : C25/30-B500C (EC2 §3)  
Κατηγορία περιβάλλοντος : XC1 (EC2 §4.4.1)  
Επιβλεψη οπλισμού : Οπλισμ=20 mm (EC2 §4.4.1)  
γ<sub>m</sub>=1.50, γ<sub>m</sub>=1.15 (EC2 Πίνακας 2.1B)  
f<sub>cd</sub>=α<sub>scc</sub>·f<sub>ck</sub>/γ<sub>m</sub>=0.85α<sub>scc</sub>/1.50=14.17 MPa (EC2 §3.1.6)  
f<sub>sd</sub>=α<sub>scs</sub>·f<sub>yk</sub>/γ<sub>m</sub>=0.85α<sub>s</sub>/1.8/1.50=1.02 MPa (EC2 §3.1.6)  
f<sub>td</sub>=f<sub>yk</sub>/γ<sub>m</sub>=500/1.15=435 MPa (EC2 §2.2.7)  
Περιοχ. ελαστικότητας σκυροδέματος f<sub>cm</sub>=31.0GPa

Υπολογισμοί  Αυτόματος υπολογισμός  Τυπός

OK Άκυρα Βοήθεια Νέμο/οία

Έναρξη ΚΕΦ 6 ΓΙΑΜΗ-ΣΤΡΕΨΗ ΚΕΦΑΛΑΙΟ 60 ΓΑΡΑ... BETONexpress γράφει τίτλο - Συγγρα...

# Αποτελέσματα

Project Beton

Σελ. 1

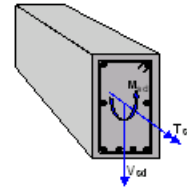
## 1. ΔΟΚΟΣ-001

Διατομή δοκού σε στρέψη, κάμψη και διάτμηση  
(EC2 EN1992-1-1:2004, ECU EN1990:2002, +NA-EL0T:2010)

$b \times h = 0.250 \times 0.500$  m,  $T_{ed} = 10.00$  kNm,  
 $M_{ed} = 100.00$  kNm,  $V_{ed} = 10.00$  kN

Υπολογισμοί οπλισμένου σκυροδέματος

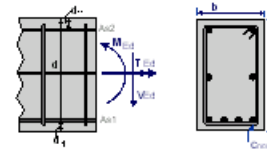
Σκυρόδεμα-Χάλυβας : C25/30-B500C (EC2 §3)  
Κατηγορία περιβάλλοντος : XC1 (EC2 §4.4.1)  
Επικάλυψη οπλισμού :  $C_{nom} = 20$  mm (EC2 §4.4.1)  
 $\gamma_c = 1.50$ ,  $\gamma_s = 1.15$  (EC2 Πίνακας 2.1N)  
 $f_{cd} = \alpha_{cc} \cdot f_{ck} / \gamma_c = 0.85 \times 25 / 1.50 = 14.17$  MPa (EC2 §3.1.6)  
 $f_{ctd} = \alpha_{ct} \cdot f_{ctk} \cdot 0.05 / \gamma_c = 0.85 \times 1.8 / 1.50 = 1.02$  MPa (EC2 §3.1.6)  
 $f_{yd} = f_{yk} / \gamma_s = 500 / 1.15 = 435$  MPa (EC2 §3.2.7)  
Μέτρο Ελαστικότητας σκυροδέματος  $E_{cm} = 31.0$  GPa



## 2. Διαστάσεις, φορτία

Πλάτος δοκού  $b = 0.250$  m, ύψους  $h = 0.500$  m

Ροπή κάμψης  $M_{ed} = 100.00$  kNm  
Τέμνουσα  $V_{ed} = 10.00$  kN  
Ροπή στρέψης  $T_{ed} = 10.00$  kNm



Ηφελίμο ύψος διατομής  $d_1 = C_{nom} + \varnothing_s + 0.5\varnothing = 20 + 8 + 0.5 \times 14 = 35$  mm,  $d_2 = 35$  mm,  $d = 500 - 35 = 465$  mm

## 3. Διαστασιολόγηση έναντι αστοχίας σε κάμψη (ULS)

(EC2 EN1992-1-1:2004, §6.2.1)

Διαστασιολόγηση έναντι αστοχίας σε κάμψη: Alloway, G.-Avak, R. Bemessungstabeln nach Eurocode für Rechteck und Plattenbalkenquerschnitte, In: Beton - und Stahlbetonbau 87 (1992)

Οπλισμός έναντι κάμψης (δεν απαιτείται θλιβόμενος οπλισμός)

$M_{ed} = 100.00$  kNm  $b_w = 250$  mm  $d = 465$  mm  $K_d = 2.33$   $x/d = 0.17$   $\alpha_{c2}/\alpha_{s1} = -3.5/16.6$   $k_s = 2.48$ ,  $A_{s1} = 5.33$  cm<sup>2</sup>

Ελάχιστος διαμήκης οπλισμός,  $A_s \geq 0.26 b d \cdot f_{ctm} / f_{yk}$ , ( $A_{s,min} = 1.57$  cm<sup>2</sup>) (EC2 §9.4.1)

Μέγιστος διαμήκης οπλισμός,  $A_s \leq 0.04 A_c$ , ( $A_{s,max} = 50.00$  cm<sup>2</sup>) (EC2 §9.4.2)

Οπλισμός κάμψης: **2Ø14+2Ø12** ( 5.34 cm<sup>2</sup>) (κάτω πέλμα)

## 4. Διαστασιολόγηση για τέμνουσα και στρέψη (ULS)

(EC2 EN1992-1-1:2004, §6.2.2)

Ο υπολογισμός της ροπής αντοχής σε στρέψη  $T_{rd,max}$  βασίζεται σε πρότυπο ιδεατό χαροδικό με γωνία κλίσης θλιβομένων διαγωνίων  $\theta = 40.0^\circ$  ( $1.0 < \cot 40.0^\circ = 1.19 < 2.5$ ) (EC2 §6.2.2)

Αντοχή λοξής θλίψης σκυροδέματος  $V_{rd,max}$  (EC2 §6.2.3)

$V_{rd,max} = \alpha_{cw} \cdot b_w \cdot z \cdot v_1 \cdot f_{cd} / (\cot \theta + \tan \theta)$ ,  $V_{ed}/\max(V_{rd,max}) = 0.02$ ,  $\theta = 40.0^\circ$   $\cot \theta = 1.19$   $\tan \theta = 0.8$   
 $\alpha_{cw} = 1.00$   $z = 0.9d$ ,  $f_{ck} = 25.0 < 60$  MPa  $v_1 = 0.6 [1 - f_{ck}/250] = 0.6 [1 - 25/250] = 0.540$ ,  $f_{cd} = 14.17$  MPa  
 $V_{rd,max} = 0.001 \times 1.00 \times 250 \times 0.9 \times 465 \times 0.540 \times 14.17 / 2.03 = 394.4$  kN

Ροπή αντοχής σχεδιασμού σε στρέψη (EC2 §6.2.4)

$T_{rd,max} = 2v_1 \alpha_{cw} f_{cd} A_k t_{ef} \sin \theta \cos \theta$ ,  $\theta = 40.0^\circ$  (EC2 §6.2.4)

$\alpha_{cw} = 1.00$ ,  $v_1 = 0.6 (1 - f_{ck}/250) = 0.6 (1 - 25.00/250) = 0.540$  (EC2 Εξ. 6.2.4)

$t_{ef} = A/u = 0.500 \times 0.250 / (2 \times 0.500 + 2 \times 0.250) = 0.083$  m = 83 mm  $\geq 2x d_1 = 2 \times 35 = 70$  mm

$A_k = (0.500 - 0.083) \times (0.250 - 0.083) = 0.069$  m<sup>2</sup> = 69444 mm<sup>2</sup>,  $u_k = 2 \times (0.167 + 0.417) = 1.167$  m = 1167 mm

$T_{rd,max} = 2 \times 0.540 \times 1.00 \times 0.001 \times 14.17 \times 69444 \times 0.083 \times 0.643 \times 0.766 = 43.61$  kNm

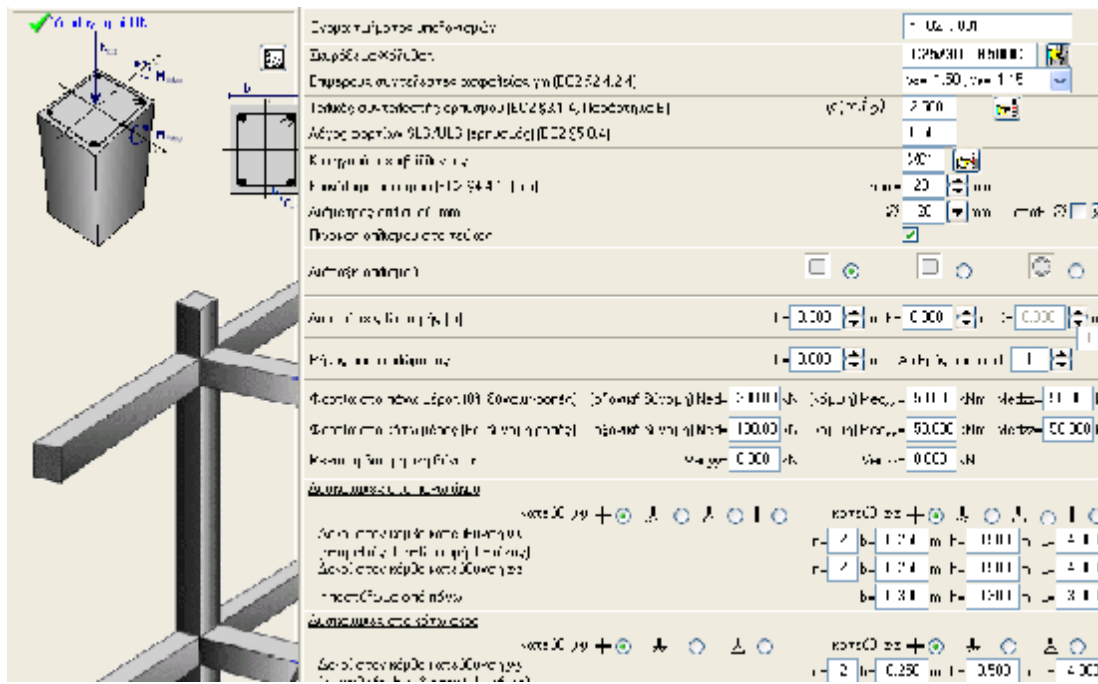
Τέμνουσα και στρέψη  $(T_{ed}/T_{rd,Max}) + (V_{ed}/V_{rd,Max}) \leq 1$  (EC2 EN1992-1-1:2004, §6.2.5)

$(10.00/43.61) + (10.00/394.37) = 0.25 \leq 1$

- Συμπέρασμα: 1.** Για την φόρτιση απαιτούνται οπλισμός σε **κάμψη** 2Φ14 και 2 Φ12 στο κάτω πέλμα της πλακοδοκού.
- 2.** Οπλισμός **στρέψης-διάτμησης**: δίμητοι συνδετήρες  $\emptyset 8/14.5$  ( $A_{sw}/s= 6.94\text{cm}^2/\text{m}$ )  
**Διαμήκης οπλισμός για στρέψη:**  $\emptyset 10/18.0$  (6 $\emptyset 10$ ) ( $4.36\text{cm}^2/\text{m}$ )

### Εφαρμογή 3.

#### Διαξονική κάμψη και λυγισμός σε υποστύλωμα



### Αποτελέσματα

Project Beton

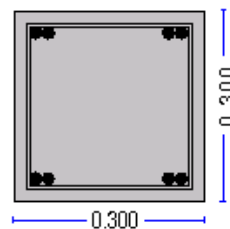
Σελ. 1

#### 1. ΥΠΟΣΤ.-001

Υποστύλωμα σε διαξονική κάμψη και λυγισμό  
(EC2 EN1992-1-1:2004, EC2 EN1990:2002, +NA-ELOT:2010)

##### Υπολογισμοί οπλισμένου σκυροδέματος

Σκυροδέμα-Σίδηλος : C25/30-B500C (EC2 B3)  
 Κατηγορία περιβάλλοντος : XC1 (EC2 B4.4.1)  
 Επικάλυψη οπλισμού :  $c_{nom} = 20$  mm (EC2 B4.4.1)  
 $\gamma_c = 1.50$ ,  $\gamma_s = 1.15$  (EC2 Πίνακας 2.1N)  
 $f_{cd} = \alpha_{ct} \cdot f_{ctk} / \gamma_c = 0.85 \times 25 / 1.50 = 14.17$  MPa (EC2 B3.1.6)  
 $f_{td} = \alpha_{ct} \cdot f_{ctk0.05} / \gamma_c = 0.85 \times 1.8 / 1.50 = 1.02$  MPa (EC2 B3.1.6)  
 $f_{yd} = f_{yk} / \gamma_s = 500 / 1.15 = 425$  MPa (EC2 B3.2.7)  
 Μέτρο Ελαστικότητας σκυροδέματος  $E_{cm} = 21.06$  GPa



#### 2. Δικτοόσις, φορτία

Υποστύλωμα ορθογωνικής δικτοομής  $b = 0.300$  m,  $h = 0.300$  m, μήκος υποστυλώματος  $L = 3.000$  m  
 Φορτία στο πάνω άκρο, Φορτία, αξονικό  $N_{Ed} = 200.00$  kN (θλίψη), ροπές  $M_{Ed,x} = 50.00$  kNm,  $M_{Ed,y} = 50.00$  kNm  
 Φορτία στο κάτω άκρο, Φορτία, αξονικό  $N_{Ed} = 100.00$  kN (θλίψη), ροπές  $M_{Ed,x} = 50.00$  kNm,  $M_{Ed,y} = 50.00$  kNm  
 Ωφέλιμο ύψος δικτοομής  $d = h - d_1$ ,  $d_1 = d_2 = c_{nom} + \phi + s + \phi / 2 = 20 + 8 + 20 / 2 = 38$  mm,  $d_x = 262$  mm,  $d_y = 262$  mm

#### 3. Δικτοοσιολόγηση για θλίψη με μικρή εκκεντρότητα (ULS)

(EC2 B6.1, B9.2.1)

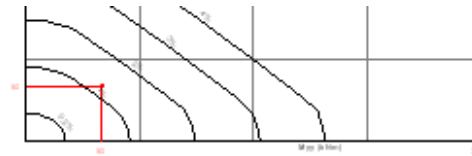
$N_{Ed} = 200.00$  kN,  $M_{Ed,y} = 50.00$  kNm,  $M_{Ed,x} = 50.00$  kNm

##### Δικτοοσιολόγηση με κριθμητική ολοκλήρωση

Διαγράμματα μονοξονικής κάμψης προερχόμενο από κριθμητική ολοκλήρωση με χωριστό σε  $10 \times 10 = 100$  τμήματα δικτοομής  
 $N_{Ed} = 200.00$  kN (θλίψη),  
 $M_{Ed,y} = 50.00$  kNm,  $M_{Ed,x} = 50.00$  kNm  
 C25/30-B500C  
 $b = 300$  mm,  $h = 300$  mm  
 $d_y = 262$  mm,  $d_x = 262$  mm,  $d_1 = d_2 = 38$  mm



$d_y=262\text{mm}$ ,  $d_x=262\text{mm}$ ,  $d_1=d_2=30\text{mm}$   
 $d_1/h=0.127$ ,  $d_2/b=0.127$   
 $e_x=Me_{dy}/Ned=50.00/200.00=0.250\text{m}=250\text{mm}$   
 $e_y=Me_{dx}/Ned=50.00/200.00=0.250\text{m}=250\text{mm}$   
 $x_s=h/2-d_1=300/2-30=112\text{mm}$ ,  $e_x=250\text{mm}>x_s=112\text{mm}$   
 $y_s=h/2-d_1=300/2-30=112\text{mm}$ ,  $e_y=250\text{mm}>y_s=112\text{mm}$   
 $A_{s,tot}=1125\text{mm}^2$ ,  $A_{s,tot}/A_c=1.254$



$A_{s,tot}=11.25\text{cm}^2$

$Ned=200.00 \leq 0.65A_c f_{cd}=1000 \times 0.65 \times 0.300 \times 0.300 \times 16.67=975.20 \text{ kN}$  (ΕΚ8 §5.4.3.2.1, ΕΝΣΕ, §18.4.2)

Ελάχιστος διαμήκης οπλισμός,  $A_s \geq 0.0020A_c$ ,  $s \geq 8$ ,  $A_{s,min}=4\Phi 8$  (  $2.01\text{cm}^2$  ) (ΕΚ2 §9.5.2.2)

Μέγιστος διαμήκης οπλισμός,  $A_s \leq 0.04A_c$ , ( $A_{s,max}=36.00\text{cm}^2$ ) (ΕΚ2 §9.5.2.3)

Εγκάρσιος οπλισμός, συνδετήρες με ελάχιστη  $s$  σε «ποσότητες»  $\geq 1,t$  (ΕΚ2 §9.5.3)

στις μη κρίσιμες περιοχές από 0.30m μέχρι H-0.30m : συνδετήρες  $s \geq 6$ ,  $\geq 1,t \leq 300\text{mm}$

στις κρίσιμες περιοχές [0-0.30m] και [H-0.30m, H ] : συνδετήρες  $s \geq 6$ ,  $\geq 1,t \leq 160\text{mm}$

Βασικό μήκος αγκόρωσης  $L_{bd}=570\text{mm} = 0.570\text{m}$  (ΕΚ2 Εξ.8.3)

Διαμήκης οπλισμός: **4Φ20** ( $12.56\text{cm}^2$ )

Οπλισμός συνδετήρων: Συνδετήρες  $\Phi$  **8/30.0** h:0.30m~H-0.30m],  $\Phi$  **8/16.0** h:0~0.30m, H-0.30m~H]

**Συμπέρασμα: Διαμήκης οπλισμός 4 Φ20  
Και συνδετήρες Φ8/30 cm και Φ8/16cm**

# Εφαρμογή 4<sup>η</sup>

## Πλακοδοκός σε κάμψη-διάτμηση και αξονική δύναμη

|   |   |  |
|---|---|--|
| Μονο- ή δι-αξονική δοκός  | ΣΤ-ΔΙΤ-ΔΙ                                   |  |
| Ελαστικό μέτρο  | Ε25000 Β5000                                |  |
| επιμέρους συντελεστής ασφαλείας για $\lambda \leq 2.5$ (24)   | $\lambda = 1.0$ $\gamma_m = 1.1$            |  |
| ελάχιστο $\rho_{min}$ (για $\rho_{min} \leq 1.4 \cdot \rho_{min,REQ}$ ) $\rho(\%) \geq$   | 2500  | <input type="text"/>                         |
| επιτρεπόμενη ατμολογία  | $\rho_{max} =$                              | 0.370 <input type="text"/>                   |
| Μέγιστο βάθος ραγάδας   | $s_R$ (mm)                                  | 0.5 <input type="text"/>                     |
| Κατηγορία επιπέδωσης  | S1 <input type="text"/>                     |  |
| Παχύτητα πλάκας (EC 9.4.1) (mm)   | Πλάκας                                      | Δ1 <input type="text"/>                      |
| Επιβαρύνσεις: κυκλική (kN/m <sup>2</sup> ) ορθή $s_{k1}$ C <input type="text"/> m $s_{k2}$ C <input type="text"/> m $s_{k3}$ C <input type="text"/> m |   |  |
| Ασυνιστώμενη θερμοκρασία θερμοκρασία  | εξω   | 0.70 <input type="text"/>                    |
| επιτρεπόμενες μέγιστες τάσεις (MPa)   | σ <sub>cm</sub>                             | 1.70 <input type="text"/>                    |
|   | σ <sub>ctm</sub>                            | 1.15 <input type="text"/>                    |
|   | σ <sub>ctm</sub>                            | 1.15 <input type="text"/>                    |
| Αξονική δύναμη $N_k$  | Προσμετωπική [kN]                           | N <sub>max</sub> = 0.00 <input type="text"/> |
|   |   | N <sub>min</sub> = 0.00 <input type="text"/> |
| Επιμετρική αξονική δύναμη $N_{ed}$  | N <sub>ed</sub> = 0.00 <input type="text"/> | N <sub>ed</sub> = 0.00 <input type="text"/>  |
| Αξονική δύναμη $N_{Ed}$   | N <sub>Ed</sub> = 0.00 <input type="text"/> | N <sub>Ed</sub> = 0.00 <input type="text"/>  |
| Μήκος δοκού (m)   | L = 4.00 <input type="text"/>               |  |

## Αποτελέσματα

Project Beton

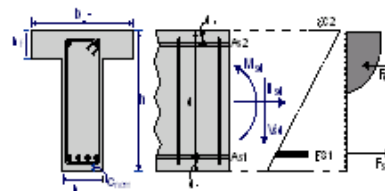
Σελ. 1

### 1. ΔΟΚΟΣ-001

Διατομή δοκού σε κάμψη, διάτμηση και αξονική δύναμη  
(EC2 EN1992-1-1:2004, EC0 EN1990:2002, +NA-EL0T:2010)

$b \times h = 0.250 \times 0.500$  m,  $M_{ed} = 100.00$  kNm,  
 $b_{eff} = 1.250$  m,  $h_f = 0.180$  m  
 $V_{ed} = 70.00$  kN,  $N_{ed} = 10.00$  kN  
Υπολογισμοί οπλισμένου σκυροδέματος

|   |                     |                     |
|---|---------------------|---------------------|
| Σκυροδέμα-Χάλυβας   | : C25/30-B500C      | (EC2 B3)            |
| Κατηγορία περιβάλλοντος   | : XCL               | (EC2 B4.4.1)        |
| Επικάλυψη οπλισμού  | : $c_{nom} = 20$ mm | (EC2 B4.4.1)        |
| $\gamma_c = 1.50$ , $\gamma_s = 1.15$   |                     | (EC2 Πιννακας 2.1N) |
| $f_{ctd} = \alpha_{ct} \cdot f_{ctk} / \gamma_c = 0.85 \times 2.5 / 1.50 = 1.42$ MPa            |                     | (EC2 B3.1.6)        |
| $f_{ctd} = \alpha_{ct} \cdot f_{ctk} \cdot 0.05 / \gamma_c = 0.85 \times 1.8 / 1.50 = 1.02$ MPa |                     | (EC2 B3.1.6)        |
| $f_{yk} = f_{yk} / \gamma_s = 500 / 1.15 = 435$ MPa   |                     | (EC2 B3.2.7)        |
| Μέτρο Ελαστικότητας σκυροδέματος $E_{cm} = 31.06$ GPa   |                     |                     |



### 2. Δικιότητες, φορτία

Πλάτος κορμού δοκού  $b = 0.250$  m, ύψους  $h = 0.500$  m  
Συνεργαζόμενο πλάτος  $b_{eff} = 1.250$  m, μήκος πλάκας  $h_f = 0.180$  m  
Φρέζινο ύψος διατομής  $d_1 = c_{nom} + s + 0.5 \cdot \phi = 20 + 20 + 0.5 \times 14 = 25$  mm,  $d_2 = 25$  mm,  $d = 500 - 25 = 475$  mm

#### Οριακή κατάσταση φέρουσας ικανότητας (ULS)

Ροπή κάμψης  $M_{ed} = 100.00$  kNm, τήρνοσα  $N_{ed} = 10.00$  kN, αξονική δύναμη  $N_{ed} = 10.00$  kN (πρακτωφόρ)

#### Οριακή κατάσταση λειτουργικότητας (SLS)

Ροπή κάμψης  $M_{ed} = 70.00$  kNm, τήρνοσα  $N_{ed} = 7.00$  kN, αξονική δύναμη  $N_{ed} = 7.00$  kN (πρακτωφόρ)

### 3. Δικαιολόγηση για κάμψη με αξονική δύναμη (ULS)

(EC2 B6.1, B9.2.1)

Οπλισμός έναντι κάμψης με αξονική δύναμη (δεν απαιτείται θλιβόμενος οπλισμός)

Δικαιολόγηση έναντι αστοχίας σε κάμψη: Allgomer, G.-Ank,R. Bemessungstabeln nach Eurocode 2 für Rechteck und Plattenbalkenschnitte, In: Beton - und Stahlbetonbau 87 (1992)

$M_{ed} = 100$  kNm  $N_{sd} = 10$  kN  $b_{eff} = 1250$  mm  $d = 475$  mm  $K_d = 5.26$   $\alpha/d = 0.06$   $\alpha_2/\alpha_1 = -1.2/20.0$   $k_s = 2.34$ ,  $A_{s1} = 5.16$  cm<sup>2</sup>

$x=0.06 \times 465 = 28 < h_f = 180 \text{ mm}$  ουδέτερη γραμμή μέσα στην πλάκα

Ελάχιστος διαμήκης οπλισμός,  $\Delta s \geq 0.26 b d \cdot f_{ctm} / f_{yk}$ , ( $\Delta s_{min} = 1.57 \text{ cm}^2$ )

(ΕΕΕ §9.2.1.1.1)

Μέγιστος διαμήκης οπλισμός,  $\Delta s \leq 0.04 b d$ , ( $\Delta s_{max} = 50.00 \text{ cm}^2$ )

(ΕΕΕ §9.2.1.1.3)

Διαμήκης οπλισμός: **2Φ14+2Φ12** ( 5.34cm<sup>2</sup>) (κάτω πέλμα)

### 3.1. Ψέφουκα ικανότητα διατομής σε κάμψη

(ΕΕΕ ΕΜ1992-1-1:2004, §6.1)

$b_w = 250 \text{ mm}$ ,  $h = 500 \text{ mm}$ ,  $b_f = 1250 \text{ mm}$ ,  $h_f = 180 \text{ mm}$ ,  $d = 465 \text{ mm}$ ,  $\Delta s_1 = 534 \text{ mm}^2$ ,  $\Delta s_2 = 0 \text{ mm}^2$

$\alpha_c = -1.22\%$ ,  $\alpha_{s1} = 19.78\%$ ,  $\Delta s_1 / b \cdot d = 0.00092 (0.092\%)$

$x/d = \alpha_c / (\alpha_c + \alpha_{s1}) = 1.22 / (1.22 + 19.78) = 0.058$ ,  $x = 27.0 \text{ mm}$

$\alpha_r = 0.486$ ,  $k_a = 0.355$ ,  $F_c = \alpha_r \cdot b \cdot x \cdot f_{cd} = F_{s1} = 232.53 \text{ kN}$ ,  $\Delta s_1 = F_{s1} / f_{yd} = 535 \text{ mm}^2$

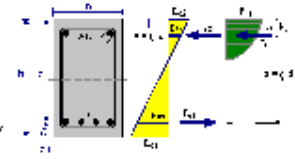
$\alpha = d - k_a \cdot x = [(1 - k_a \cdot \alpha_c) / (\alpha_c + \alpha_{s1})] d$ ,  $\alpha/d = 1.0 - 0.355 \times 0.058 = 0.979$ ,  $\alpha = 455.4 \text{ mm}$ ,

$Kd^2 = 1 / (0.486 \cdot 0.058 \cdot 0.979 \cdot 14.17) = 2.552 \text{ mm}^2/\text{N}$ ,  $Kd = 1.598$

Κριτική αντοχή  $M_r = b \cdot d^2 / Kd^2 = [10^{-6}] \times 1250 \times 465^2 / 2.552 = 106.00 \text{ kNm}$

$x = 27.0 \text{ mm} \leq h_f = 180 \text{ mm}$  ουδέτερος «ζονακς στην πλάκα»

Κριτική αντοχή ( $\alpha_c / \alpha_{s1} = 1.22 / 19.78$ )  $M_r = 106.00 \text{ kNm}$



- Συμπέρασμα: 1. Διαμήκης οπλισμός 2Φ14 και 2Φ12  
2. Οπλισμός διάτμησης Φ8/34.5

## **Κεφάλαιο 2ο ΘΕΩΡΙΕΣ ΑΣΤΟΧΙΑΣ ΔΟΜΙΚΩΝ ΣΤΟΙΧΕΙΩΝ**



## 2.1 Περί τάσεων-Κύκλος του Mohr

### 2α) Τάσεις στο εσωτερικό σώματος ευρισκομένου σε διαξονική αξονική κατάσταση.

Εστω σώμα που ευρίσκεται σε εντατική κατάσταση λόγω συστήματος εξωτερικών δυνάμεων που ισορροπούν, και το σημείο A της μάζας του. Το σημείο A του εν λόγω σώματος θα ισορροπεί και αυτό υπό την επίδραση των τάσεων που εξασκεί το σώμα στο στοιχειώδες αυτό σημείο. Το εν λόγω σημείο A παριστάται με ένα απειροστό παραλληλεπίπεδο (σχήμα 2.1). Το ανυσμα της εξασκουμένης ανά εδράς τάσης αναλύεται σε μια ορθή (καθώς) τάση και σε μια διατμητική τάση υπό τυχούσα γωνία, η οποία διατμητική τάση αναλύεται σε άλλες δύο συνιστώσες, κατά τους αντιστοιχούς άξονες του τρισσορθογωνίου συστήματος αναφοράς που εκλεξαμε. Οι τάσεις αυτές ονομάζονται με την βοήθεια δύο δεικτών και προσημειώνονται κατά τον ακόλουθο τρόπο<sup>2</sup>:

Ο πρώτος δείκτης, η δείκτης έδρας, δηλώνει σε ποια έδρα ανήκει (καθώς στον εν λόγω άξονα του συστήματος αναφοράς) η προς συζήτηση τάση.

□ Ο δεύτερος δείκτης που χρησιμοποιείται για την προσημάνση των τάσεων δηλώνει παράλληλα με κάποιον από τους άξονες του εκλεγμένου συστήματος αναφοράς. Για την προσημάνση των τάσεων πρέπει να πούμε ότι οι δε ορθές τάσεις θεωρούνται θετικές όταν προκαλούν εφελκυσμό, και αρνητικές όταν προκαλούν θλίψη. Οι δε διατμητικές τάσεις προσημειώνονται ως θετικές όταν το σχηματιζόμενο τμητικό ζεύγος είναι δεξιόστροφο. Άρα στην γενική περίπτωση (της τριαξονικής εντατικής καταστάσεως), αναπτύσσονται στο

|                |             |              |              |
|----------------|-------------|--------------|--------------|
| $\sigma_{xx}$  | $\tau_{xy}$ | $\tau_{xy}'$ | $\tau_{zy}$  |
| $\sigma_{yy}$  | $\tau_{xz}$ | $\tau_{xz}'$ | $\tau_{zx}$  |
| $\sigma_{zz}$  | $\tau_{yx}$ | $\tau_{yx}'$ | $\tau_{zx}'$ |
| $\sigma_{xx}'$ | $\tau_{yz}$ | $\tau_{yz}'$ | $\tau_{zy}'$ |
| $\sigma_{yy}'$ |             |              |              |
| $\sigma_{zz}'$ |             |              |              |

απειροστό μας παραλληλεπίπεδο οι εξής τάσεις.

<sup>2</sup> Νικολαΐδης Ν., Σταλημέρος Σερ., και Σπανός Γ., Πτυχιακή Εργασία, Προσδιορισμός ανηγμένων παραμορφώσεων που αναπτύσσονται σε σημείο σώματος υπό την επίδραση διαξονικής έντασης, ΤΕΙ Πειραιά, 1990

Εμεις όμως εξετάζουμε την ειδική περίπτωση της δυαξονικής ή επιπέδης εντατικής καταστάσεως κατά την οποία δεχόμαστε τη ύπαρξη ορθών και διατμητικών τάσεων κατά δύο μόνο διευθύνσεις, εστω αυτές οι  $(xx)$ ,  $(yy)$ . Ως και εκ τούτου οι αναπτυσσόμενες κατά την διεύθυνση  $(zz)$  τάσεις είναι μηδενικές, δηλαδή όλες οι τάσεις αυτές που η δράση επί των εδρών  $(z)$  του απείροστου εν λόγω παραλληλεπιπέδου, ή που οι φορείς των ανυσημάτων των είναι παράλληλες με τον άξονα  $(zz)$  του τρισσορθογωνίου συστήματος αναφοράς που εκλεξαίμε, είναι μηδενικές.

Για την μὲν πρώτη περίπτωση είναι προφανές ότι:

$$\sigma_{zz} = \sigma_{zz}' = \tau_{zy} = \tau_{zx} = \tau_{zy}' = \tau_{zx}' = 0$$

Μας μένει λοιπόν να δείξουμε ότι και:

$$\tau_{yz} = \tau_{xz} = \tau_{yz}' = \tau_{xz}' = 0$$

Εξετάζουμε την ισορροπία των ροπών των δυνάμεων που ασκούνται επί των εδρών του απείροστου αυτού παραλληλεπιπέδου ως προς τον άξονα  $(xx)$ . Ως θετική φορά στις ισορροπίες των δυνάμεων ορίζεται αυτή των θετικών ημιαξόνων του συστήματος αναφοράς, ενώ ως θετική φορά των ροπών νοείται αυτή των δεικτών του ωρολογίου. Το ίδιο βάρος δεν λαμβάνεται υπόψη στους υπολογισμούς μας ως απείροστο ανώτερης

$$\tau_{yx} S_y dy / 2 + \tau_{yx}' S_y dy / 2 = 0 \Rightarrow \tau_{yx} = -\tau_{yx}' \quad (1\alpha)$$

τάξεως ( $B = \gamma_0 dx dy dz$ ). Αρα λοιπόν ισχύει

Ενεργούμε το ίδιο ως προς τον άξονα  $(yy)$  και βρίσκουμε ότι:

$$\tau_{xy} = \tau_{xy}' \quad (1\beta)$$

Εν τέλει θεωρούμε και το επίπεδο  $(xz)$ , της οποίας πάλι εξετάζουμε την ισορροπία των ροπών των δυνάμεων περί του άξονος  $(zz)$ :

$$\tau_{xz} = -\tau_{xz}' \quad (1\delta)$$

Οι σχέσεις  $(1\alpha)$  μέχρι και  $(1\delta)$  είναι οι λεγόμενες συνθήκες του Le Cauchy και μας επεξηγούν ότι οι διατμητικές τάσεις που αναπτύσσονται σε δύο απείροστα επίπεδα,

καθεται μεταξύ τους, είναι κατά απόλυτη τιμή ίσα.

Εξετάζουμε την ισορροπία των δυνάμεων κατά τον άξονα (zz) και έχουμε:

$$\Sigma F_{zz}=0 \Rightarrow -\tau_{yz} S_y - \tau_{xz} S_x + \tau_{yz}' S_y + \tau_{xz}' S_x = 0 \Rightarrow (1\gamma), (1\delta) \Rightarrow$$

$$\Rightarrow 2 \tau_{yz}' S_y + 2 \tau_{xz}' S_x = 0 \quad (2)$$

Ισχύει όμως ότι:  $S_y = dx \, dz \quad (3)$   $S_x = dy \, dz \quad (4)$

Άρα λοιπόν, έχουμε:

$$(2) \Rightarrow (3), (4) \Rightarrow 2 dz [\tau_{yz}' dx + \tau_{xz}' dy] = 0 \quad (5)$$

Η σχέση (5) πληρείται σε κάθε περίπτωση αν και μόνο αν  $\tau_{yz}' = \tau_{xz}' = 0 \quad (6)$

Άρα από τις σχέσεις (1γ), (1δ), (6) έχουμε τελικά ότι:

$$\tau_{yz} = \tau_{yz}' = \tau_{xz} = \tau_{xz}' \quad (7)$$

Απομένει, για τον καθορισμό των παραμέτρων του προβλήματός μας ναδειχθεί ότι:

$$\sigma_{xx} = \sigma_{xx}' \quad \sigma_{yy} = \sigma_{yy}'$$

Πραγματι, εάν εξετάσουμε σύμφωνα με τα νέα δεδομένα μας, τις υπάρχουσες παραμέτρους τάσεων, και συγκεκριμένα εξετάσουμε την ισορροπία των δυνάμεων, περί του άξονος (xx) έχουμε ότι:

$$\Sigma F_{xx} = 0 \Rightarrow -\sigma_{xx}' S_x + \sigma_{xx} S_x + \tau_{yx} S_y - \tau_{yx}' S_y = 0 \quad (8)$$

Λόγω όμως της σχέσης (7α) από την (8) έχουμε ότι:  $\sigma_{xx} = \sigma_{xx}'$  Εργαζόμενοι με ομοιοτρόπο (δηλαδή εξετάζοντας την ισορροπία δυνάμεων περί του άξονος (yy)) έχουμε ότι  $\sigma_{yy} = \sigma_{yy}'$ . Άρα στην ειδική περίπτωση της δυαξονικής εντατικής καταστάσεως οι τασικοί παράμετροι που αρκούν για την περιγραφή της είναι, τελικά, οι εξής (σχήμα 2.2):

$$\sigma_{xx} \sigma_{yy} \tau_{xy}$$

Απομένει λοιπόν να δείξουμε για την περίπτωση αυτή (δυναμική εντατική κατάσταση) τι τάσεις αναπτύσσονται σε σημείο Α σώματος που βρίσκεται σε δυναμική εντατική κατάσταση, όταν αυτό στραφεί κατά γωνία  $\varphi$ . Εστω λοιπόν το επίπεδο  $\Phi$ , της εντατικής κατάστασης που παριστάται στο σχήμα 2.3, το οποίο σχηματίζει γωνία  $\varphi$  με το επίπεδο (xx). Θα προσδιορίσουμε τις τάσεις  $\sigma_\varphi$ ,  $\tau_\varphi$  που αναπτύσσονται επί του επιπέδου αυτού.

Εστω το απείροστο στοιχείο του σχήματος 2.4. Αυτό θα ισορροπεί υπό την επίδραση των ολικών δυνάμεων που ενεργούν στο στοιχείο αυτό. Επίσης ορίζουμε τους βοηθητικούς άξονες  $z_1$  και  $z_2$  .. Η προσημάνση των ορθών και διατμητικών τάσεων γίνεται κατά τα μέχρι τουδε γνωστά της παραγράφου 2α). Επειδή όμως ισχύει ότι  $\tau_{xy} = -\tau_{yx}$  στους συμβολισμούς μας γράφουμε  $\tau_{xy}$  σχετικά με τον συμβατικό τρόπο γραφής  $\tau_{yx}$  χαρακτηρίζοντας έτσι πάλι τα αριστεροστροφα τμητικά ζευγή θετικά. Εξετάζουμε την ισορροπία κατά των άξονα  $z_1$  και έχουμε:

Γενικά ισχύουν οι τύποι:

$$\sigma_\varphi = (\sigma_{xx} + \sigma_{yy}) / 2 + (\sigma_{xx} - \sigma_{yy}) \cos 2\varphi / 2 - \tau_{xy} \sin 2\varphi \quad (12)$$

$$\tau_\varphi = (\sigma_{xx} - \sigma_{yy}) \sin 2\varphi / 2 + \tau_{xy} \cos 2\varphi \quad (13)$$

Εάν δηλαδή σε σημείο Α σώματος ευρισκομένου σε δυναμική εντατική κατάσταση θεωρήσω δύο κάθετα αναμεταξύ τους επίπεδα  $\alpha$ , που διέρχονται από το σημείο Α, τότε όταν το απείροστο αυτό σημείο στραφεί κατά γωνία  $\varphi$ , οι τάσεις, ορθές και διατμητικές, που αναπτύχθουν στο επίπεδο  $\Phi$ , θα δίδονται από τις σχέσεις (12) και (13). Αν δηλαδή γνωρίζω τις τάσεις  $\sigma_{xx}$ ,  $\sigma_{yy}$ ,  $\tau_{xy}$ , τότε οι τάσεις  $\sigma_\varphi$ ,  $\tau_\varphi$  παριστούν τις τάσεις που δρουν επί του απείροστου επιπέδου  $\alpha$  που σχηματίζει γωνία  $\varphi$  με το επίπεδο (xx).

## 2β) Διερεύνηση των σχέσεων ( 12) και ( 13 )

Όπως παρατηρούμε από τους τύπους ( 12) και ( 13) οι τάσεις  $\sigma_\varphi$ ,  $\tau_\varphi$  είναι συναρτήσεις που έχουν ως μεταβλητή την γωνία  $\varphi$ . Άρα για την εύρεση των ακροτατών τιμών των δύο αυτών τασικών συναρτήσεων φτάνει να εξετάσουμε για ποια τιμή της γωνίας κλίσεως  $\varphi$  μηδενίζεται η πρώτη παραγωγός.

Βλέπουμε γενικά ότι για διάφορες τιμές του  $\kappa$  έχουμε διαφορετικά επίπεδα:

-Για  $\kappa=0$  έχουμε  $\theta=\varphi$

-Για  $\kappa=1$  έχουμε  $\theta=\varphi + \pi/2$

-Για  $\kappa=2$  έχουμε  $\theta=\varphi + \pi$ , το οποίο συμπίπτει με το πρώτο επίπεδο, δηλαδή ( $\kappa=0$ )

Παρατηρούμε ότι για όλες τις δυνατές τιμές του  $\kappa$ , αναγομάστε σε δύο κάθετα μεταξύ τους επίπεδα. Άρα υπάρχουν δύο και μόνο δύο επίπεδα, τα οποία διέρχονται από το  $A$  και είναι ανάμεσα τους κάθετα, και εμφανίζουν ακροτατές τιμές τις ορθής τάσεως. Στο μien ένα επίπεδο η ορθή τάση λαμβάνει μέγιστη τιμή, στο δε άλλο ελαχιστη τιμή. Επί των επιπέδων αυτών δεν αναπτύσσεται διατμητική τάση. Ονομάζονται δε κύρια επίπεδα, οι δε τάσεις στα, στην ονομάζονται κυρίες τάσεις.

για όλες τις δυνατές τιμές του  $\kappa$  αναγομάστε σε δύο καινούργια επίπεδα, τα οποία είναι κάθετα μεταξύ τους και διέρχονται από το σημείο  $A$ . Τα επίπεδα αυτά προκύπτουν διαστροφής της επιβατικής ακτίνος από κάποιο κύριο επίπεδο κατά γωνία  $45^\circ$ . Άρα αν γνωρίζω τα κύρια επίπεδα, οι διχοτομοί των διεδρών γωνιών ορίζουν τα επίπεδα επί των οποίων αναπτύσσεται η μέγιστη διατμητική τάση. Στα επίπεδα αυτά εκτός της διατμητικής τάσεως αναπτύσσεται και ορθή τάση. Στο μien ένα επίπεδο δρα η  $\tau_{\max}$ , στο δε άλλο επίπεδο δρα η  $\tau_{\min}$ . Άρα οι δύο, κατά απόλυτη τιμή, διατμητικές τάσεις ανήκουν σε δύο διευθύνσεις που σχηματίζουν με τις κυρίες διευθύνσεις γωνία  $45.0$ . Επίσης, η μέγιστη διατμητική τάση που διέρχεται από σημείο σώματος που βρίσκεται σε δυαξονική εντατική κατάσταση, ισούται με την ημιδιαφορά των κυριών τάσεων στο σημείο αυτό:

$$\tau_{\max} = (\sigma_{\max} - \sigma_{\min}) / 2 \quad (14)$$

$$\tau_{(\max, \min)} = (+ -) \sqrt{(\sigma_{xx} - \sigma_{yy})^2 / 4 + \tau_{xy}^2} \quad (15)$$

Εαν τυχει και οι αρχικες διευθυνσεις ειναι κυριες, δηλαδη οταν μας δινεται οτι  $\tau_{xy} = 0$ , οι τασεις που αναπτυσσονται δια στροφης του απειροστου επιπεδου θα δινονται απο τους τυπους ( 16) και ( 17 ) αντιστοιχα

$$\sigma_{\phi} = (\sigma_{\max} + \sigma_{\min}) / 2 + (\sigma_{\max} - \sigma_{\min}) \cos 2\phi / 2 \quad (16)$$

$$\tau_{\phi} = (\sigma_{\max} - \sigma_{\min}) \sin 2\phi / 2 \quad (17)$$

## 2γ) Κυκλος του Mohr - Γραφικη παρασταση τασεων

Ο κυκλος του Mohr ειναι μια γραφικη μεθοδος προσδιορισμου της εντατικης καταστασεως σε σημειο σωματος που τελει υπο ενταση, δυαξονικη η και τριαξονικη. Συμφωνα με την μεθο ο αυτη καθε εντατικη κατασταση (για την περιπτωση μας, της δυαξονικης εντατικης καταστασης, καθε ζευγος συντεταγμενων  $\sigma, \tau$ ) παρισταται με ενα σημειο του επιπεδου, κατα απλο και εποπτικο τροπο. Για την γραφικη παρασταση της

εντατικης καταστασεως χρησιμοποιουμε ορθογωνιο συστημα συντεταγμενων στο οποιο  $\sigma$  ορθες τασεις σημειωνονται στον αξονα των τετμημενων, ενω οι διατμητικες τασεις σημειωνονται στον αξονα των τεταγμενων. Καθε σημειο του επιπεδου αντιστοιχει σε καρτεσιανο ζευγος αποτελουμενο απο μια ορθη και μια διατμητικη ταση που αντιστοιχει σε μια συγκεκριμενη εντατικη κατασταση. Η προσημανση των τασεων γινεται οπως αυτη ειχε αναπτυχθει στην ενοτητα 2β).

Εστω το σημειο A του σωματος που ευρισκεται σε επιπεδη εντατικη κατασταση συμφωνα με τα μεχρι τουδε γνωστα. Στην προηγουμενη ενοτητα δειξαμε την ισχυ των τυπων ( 12) και ( 13 ), τους οποιους και θα μετασχηματισουμε στη συνεχεια.

$$[ \sigma_{\phi} - (\sigma_{xx} + \sigma_{yy}) / 2 ]^2 = [ (\sigma_{xx} - \sigma_{yy}) \cos 2\phi / 2 - \tau_{xy} \sin 2\phi ]^2 \quad (18)$$

$$\tau_{\phi}^2 = [ (\sigma_{xx} - \sigma_{yy}) \sin 2\phi / 2 + \tau_{xy} \cos 2\phi ]^2 \quad (19)$$

Προσθετοντας κατα μελη τις σχεσεις ( 22) και ( 23 ),και αναπτυσσοντας τις ταυτοτητες θα εχουμε

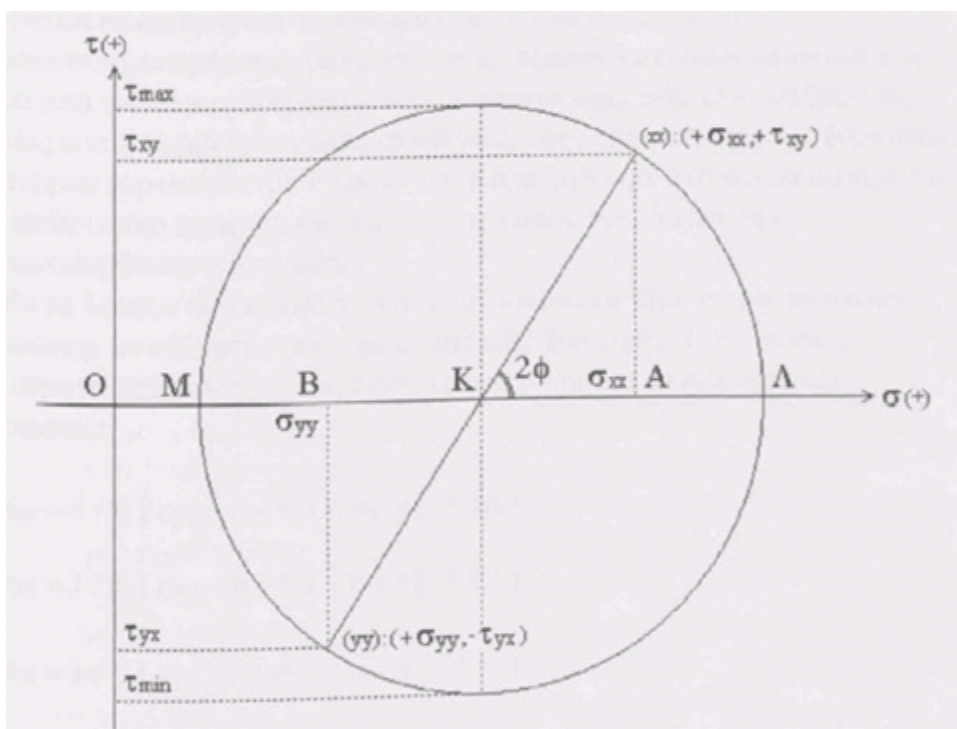
$$[ \sigma_{\phi} - (\sigma_{xx} + \sigma_{yy}) / 2 ]^2 + \tau_{xy}^2 = ( \sqrt{(\sigma_{xx} - \sigma_{yy})^2 / 4 + \tau_{xy}^2} )^2$$

(20)

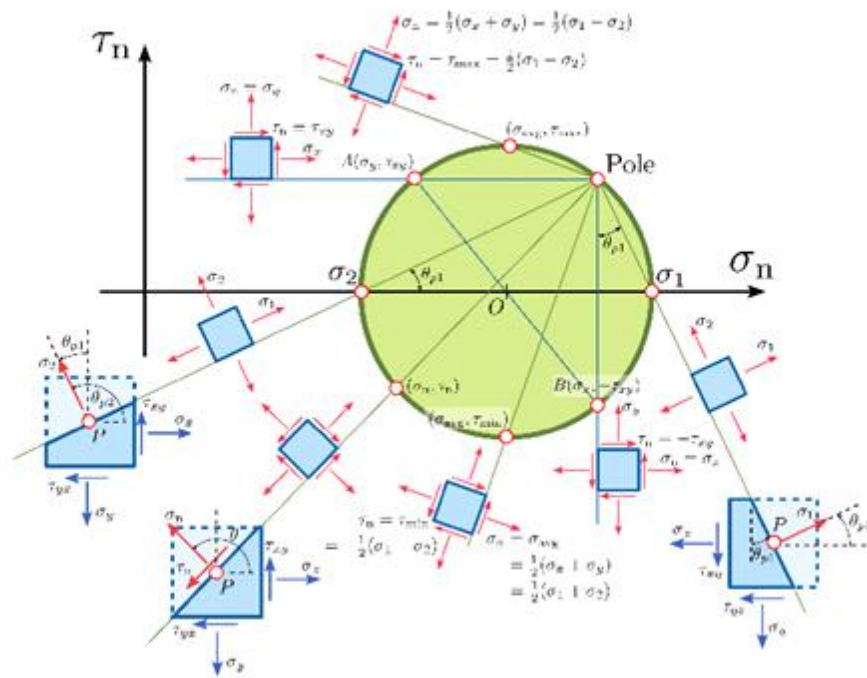
Η σχεση ( 20) παριστα την εξισωση περιφερειας κυκλου κεντρου Κ [ ( σ<sub>xx</sub> +σ<sub>yy</sub>) / 2 , 0 ] και ακτινας

$$R = \sqrt{(\sigma_{xx} - \sigma_{yy})^2 / 4 + \tau_{xy}^2}$$

Αρα καθε ζευγος συντεταγμενων σ, τ που επαληθευουν την (20) παριστα σημειο της περιφερειας του κυκλου του Mohr και αντιστροφα (καθε σημειο της περιφερειας του κύκλου του Mohr επαληθευει την σχεση ( 20) ). Δηλαδη το τυχαίο επίπεδο που διέρχεται απο το σημειο Α εχει συντεταγμενες ( σ<sub>φ</sub>, τ<sub>φ</sub>) καποιο σημειο της περιφερειας του κυκλου του Mohr.



Σχήμα 2-1 Κύκλος του Mohr



Σχήμα 2- 2 Εκτενής κύκλος Mohr

## ΕΦΑΡΜΟΓΕΣ

1. Υπολογισμός της μέγιστης και ελάχιστης τάσης για την κάτωθι φόρτιση

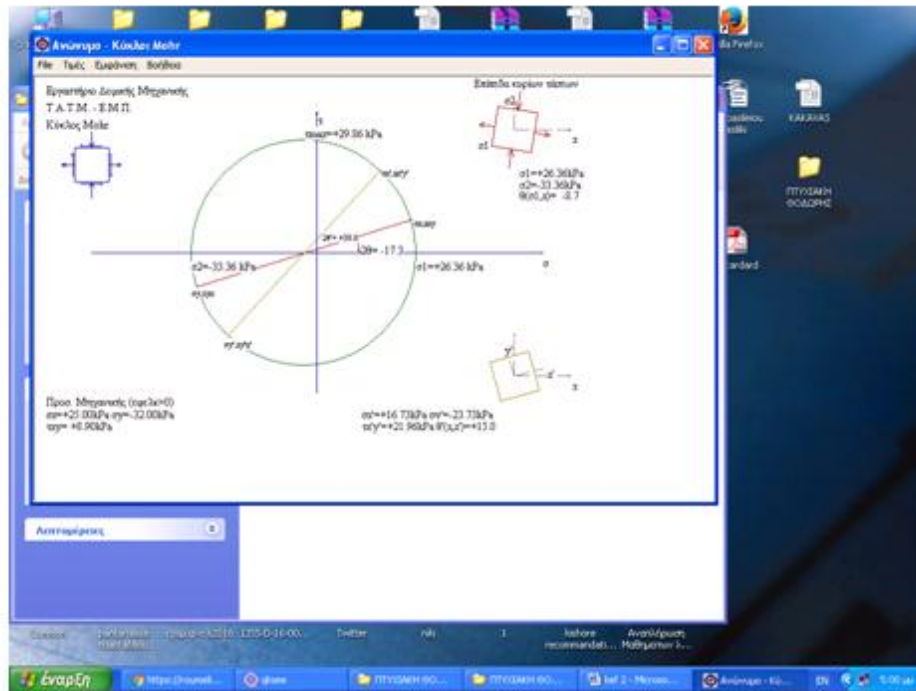
$$\sigma_x = +25 \text{ kPa}$$

$$\sigma_y = -32 \text{ kPa}$$

$$\tau_{xy} = +8,9 \text{ kPa}$$

(1) με το πρόγραμμα Mohr





## Αποτελέσματα

$$\sigma_1 = +26,36 \text{ kPa}$$

$$\sigma_2 = -33,36 \text{ kPa}$$

$$\theta(\sigma_1, x) = -8,7^\circ$$

$$\tau_{\max} = +21,86 \text{ kPa}$$

(2) Αναλυτικά βλ βιβλίο Π. Βουθούνης, Αντοχή Υλικών)

Με βάση τη θεωρία αντοχής έχουμε τον αναλυτικό προσδιορισμό των κύριων τάσεων από τους μαθηματικούς τύπους

$$\sigma_{1,2} = \frac{\sigma_x + \sigma_y}{2} \pm \sqrt{\left(\frac{\sigma_x - \sigma_y}{2}\right)^2 + \tau_{xy}^2}$$

Και τα ανωτέρω δεδομένα οι τιμές των κύριων τάσεων είναι:  $\sigma_1 = +26,36 \text{ kPa}$

$\sigma_2 = -33,36 \text{ kPa}$ , δηλαδή ίσες με τις αντίστοιχες τιμές του προγράμματος Mohr. Η γωνία της κύριας κατεύθυνσης είναι ίση με

$$\tan(2\theta_p) = \frac{2\tau_{xy}}{\sigma_x - \sigma_y}$$

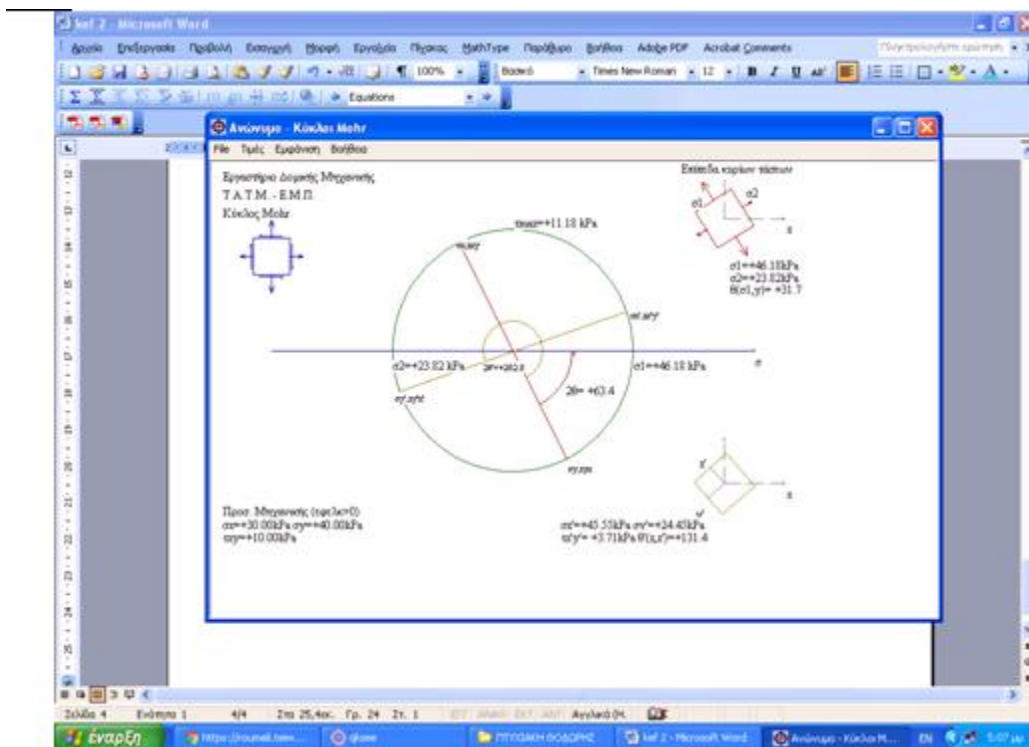
Αντικατάσταση των ανωτέρω τιμών στον τύπο βρίσκουμε ότι η γωνία  $\theta_p$  ισούται με  $-8,7$ , ίση με την τιμή που προσδιόρισε το πρόγραμμα.

## 2. Νέα εφαρμογή με δεδομένα

$$\sigma_x = +30 \text{ kPa}$$

$$\sigma_y = +40 \text{ kPa}$$

$$\tau_{xy} = +10 \text{ kPa}$$



## Αποτελέσματα

$$\sigma_1 = +46,18 \text{ kPa}$$

$$\sigma_2 = +23,82 \text{ kPa}$$

$$\theta(\sigma_1, x) = +31,7^\circ$$

$$\tau_{\max} = +11,18 \text{ kPa}$$

### 3. Παράδειγμα 4.1 (σελ. 115 Π. Βουθούνης, Αντοχή Υλικών)

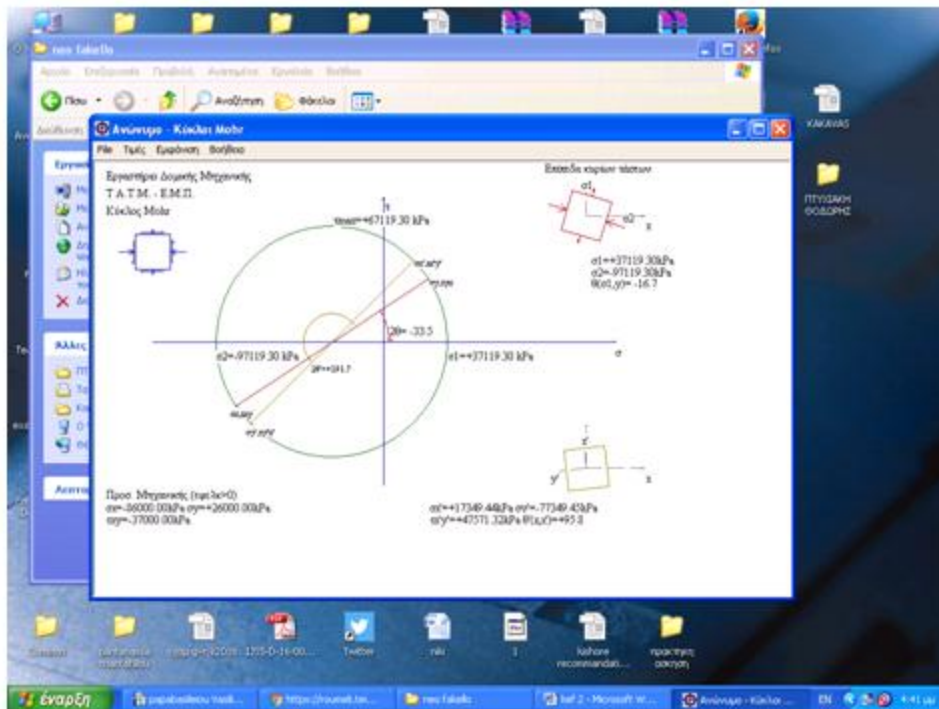
Εάν οι τιμές των  $\sigma_x, \sigma_y$  και  $\tau_{xy}$  είναι  $-86 \text{ MPa}$ ,  $+26 \text{ MPa}$  και  $-37 \text{ MPa}$  αντίστοιχα, υπολογίστε τις κύριες τάσεις αναλυτικά και με το πρόγραμμα Mohr.

#### (α) Αναλυτικά.

Από τους ανωτέρω μαθητικούς τύπους υπολογίζουμε τις κύριες τάσεις και κύρια διεύθυνση. Οι τιμές είναι

$$\sigma_1 = 37.12 \text{ MPa}, \sigma_2 = -97.12 \text{ MPa}, \text{ και } \theta_0 = +16.73^\circ$$

#### (β) Με το πρόγραμμα Mohr



Οι τιμές είναι  $\sigma_1 = +37119 \text{ kPa}$ ,  $\sigma_2 = -97119 \text{ kPa}$  και  $\theta_0 = +16.7^\circ$ . Η μέγιστη διατμητική τάση  $\tau_{max}$  ισούται με  $+67119,3 \text{ kPa}$ , ενώ το  $t_{min}$  ισούται το  $\tau_{max}$  αλλά με αντίθετο πρόσημο.

## 2.δ Περί παραμορφώσεων –Κύκλος του Mohr

### 2.δ.1 Παραμορφώσεις υπό τυχαία γωνία σώματος που βρίσκεται σε επίπεδη εντατική κατάσταση

Γραμμικά ελαστικά σώματα είναι τα σώματα εκείνα των οποίων οι αναπτυσσόμενες τάσεις, λόγω έντασης, εξαρτώνται αποκλειστικά και μόνο από τις παραμορφώσεις. Άλλοι παράγοντες που επηρεάζουν τις τάσεις είναι περιβαλλοντικές συνθήκες, ταχύτητα και τρόπος φορτισμού ή ιστορία φορτισμού του υλικού κ.α. Καταληγούμε στο συμπέρασμα ότι για κάθε υλικό υπάρχει και κάποιος νόμος που διέπει την προαναφερθείσα συσχέτιση. Έστω λοιπόν ένα ομογενές και ισότροπο ελαστικό σώμα το οποίο βρίσκεται σε ένταση εντός της ελαστικής περιοχής. Στην γενική περίπτωση της τριαξονικής εντάσεως ισχύουν οι βασικές εξισώσεις της μηχανικής οι οποίες περιγράφουν τις ορθές, γωνιακές παραμορφώσεις ενός σώματος στην γενική περίπτωση της τριαξονικής εντατικής κατάστασης, η οποία διαφέρει της επίπεδης εντατικής κατάστασης. Αξίζει πάντως να σημειωθεί ότι η επίπεδη παραμορφωσιακή κατάσταση δεν έχει σημαντικές εφαρμογές, παρά μόνο σε περιπτώσεις επιφανειακών στοιχείων που βρίσκονται υπό ένταση (πχ καταπόνηση λεπτής πλάκας), λόγω του ότι η εγκάρσια ένταση είναι κατά πολύ μικρότερη των άλλων δύο, έτσι ώστε κάθε μεταβολή της να μην επιφέρει σημαντικές αλλαγές στην γεωμετρία του σχήματος. Εάν ορίσουμε δύο κεντρικά επίπεδα, κάθετα μεταξύ τους, που ταυτίζονται για όλες τις πιθανές τιμές της μεταβλητής μας  $\kappa$ , επί των οποίων επίπεδων λαμβάνει μέγιστη και ελάχιστη τιμή αντίστοιχα η γωνιακή παραμόρφωση. Οι δύο διευθύνσεις αυτές ευρίσκονται μετά στροφής κατά  $45^\circ$  από κυρία παραμορφωσιακή κατάσταση, και επί του ενός επιπέδου συναντάται η  $\gamma_{\max}$  και επί του άλλου επιπέδου η  $\gamma_{\min}$ . Η μέγιστη δυνατή (ολική) γωνιακή παραμόρφωση θα δίδεται από τις σχέσεις;

$$\gamma_{(\max,\min)} = (\pm) \sqrt{(\epsilon_{xx} - \epsilon_{yy})^2 / 4 + \epsilon_{xy}^2}$$

$$\gamma_{\max} = \epsilon_{\max} - \epsilon_{\min}$$

Τέλος, αναφέρουμε ότι αν οι αρχικές διευθύνσεις των παραμορφώσεων ήταν κυρίες, αν δηλαδή δεν υπήρχαν διαμητικές παραμορφώσεις, τότε και θα ισχύει  $\gamma_{xy} = 0$ , τότε η προκύπτουσα παραμορφωσιακή κατάσταση θα περιγράφεται από τις εξισώσεις

$$\epsilon_{\phi} = (\epsilon_{\max} + \epsilon_{\min}) / 2 + (\epsilon_{\max} - \epsilon_{\min}) \cos 2\phi / 2$$

$$\gamma_{\phi} = (\epsilon_{\max} - \epsilon_{\min}) \sin 2\phi$$

## 2.ε Γραφική παράσταση παραμορφώσεων - Κύκλος του Mohr

Θα προσπαθήσουμε να δημιουργήσουμε την παραμετρική εξίσωση περιφέρειας κυκλου με διαδοχικές απαλοιφές της γωνίας  $2\phi$  απο τις σχέσεις

$$\left[ \epsilon_{\phi} - (\epsilon_{xx} + \epsilon_{yy}) / 2 \right]^2 = \left[ (\epsilon_{xx} - \epsilon_{yy}) \cos 2\phi / 2 - \epsilon_{xy} \sin 2\phi \right]^2$$

$$\gamma_{\phi}^2 / 4 = \left[ (\epsilon_{xx} - \epsilon_{yy}) \sin 2\phi / 2 + \epsilon_{xy} \cos 2\phi \right]^2$$

Ίσοδύναμα

$$\left[ \epsilon_{\phi} - (\epsilon_{xx} + \epsilon_{yy}) / 2 \right]^2 + \epsilon_{xy}^2 = \left[ \sqrt{(\epsilon_{xx} - \epsilon_{yy})^2 / 4 + \epsilon_{xy}^2} \right]^2$$

Η σχέση αυτή παρίστα παραμετρική εξίσωση περιφέρειας κυκλου, διοτι είναι της μορφής

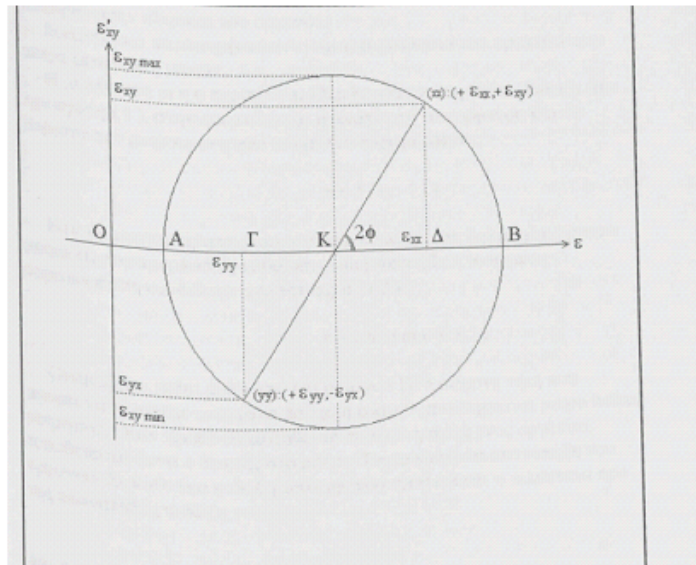
$$(x - \alpha)^2 + (y - \beta)^2 = R^2$$

Συνδδει μια παραμορφωσιακη κατασταση που αντιπροσωπευεται απο τους τελεστες της  $\epsilon_{xx}$ ,  $\epsilon_{yy}$ ,  $\epsilon_{xy}$  με μια αγνωστη παραμορφωσιακη κατασταση που εχει προκυψει απο την προαναφερθεισα κατασταση μετα στροφης (τελεστες  $\epsilon_{x'x'}$ ,  $\epsilon_{y'y'}$ ,  $\epsilon_{x'y'}$ ). Συνεπως καθε ζευγος παραμορφωσεων  $\theta$ ,  $\epsilon_{x'y'}$  που επαληθευουν την εξίσωση (27) παριστουν σημειο της περιφέρειας του κυκλου του Mohr και αντιστροφα. Δηλαδη το τυχαιο απειροστο επιπεδο που διερχεται απο το σημειο σωματος που βρισκεται σε επιπεδη παραμορφωσιακη κατασταση, και που περιγραφεται απο τα ανυσματα  $\epsilon_{x'y'}$  περιγραφεται απο καποιο σημειο της περιφέρειας του κυκλου του Mohr, το οποιο και καλουμαστε να βρουμε. Για να παριστα η τελευταία σχέση κυκλο του Mohr, πρεπει να συμβούν δύο πράγματα:

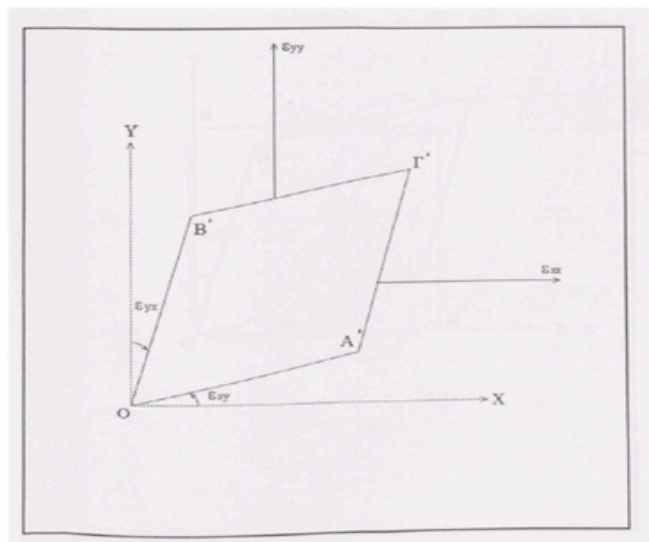
α) Οτι ο κυκλος αυτος εχει κεντρο  $K [ (\epsilon_{xx} + \epsilon_{yy}) / 2, 0 ]$

β) Οτι ο κυκλος αυτος εχει ακτι να  $R = \sqrt{(\epsilon_{xx} - \epsilon_{yy})^2 / 4 + \epsilon_{xy}^2}$  ή

$$R^2 = \sqrt{(\epsilon_{xx} - \epsilon_{yy})^2 / 4 + \epsilon_{xy}^2}$$



$$\varepsilon_{xy \max} = R$$



Τελος, ισχυει οτι η απολυτως μεγαλυση δυνατη ημιγωνιακη παραμορφωση  $\varepsilon_{xy}$  που μπορει

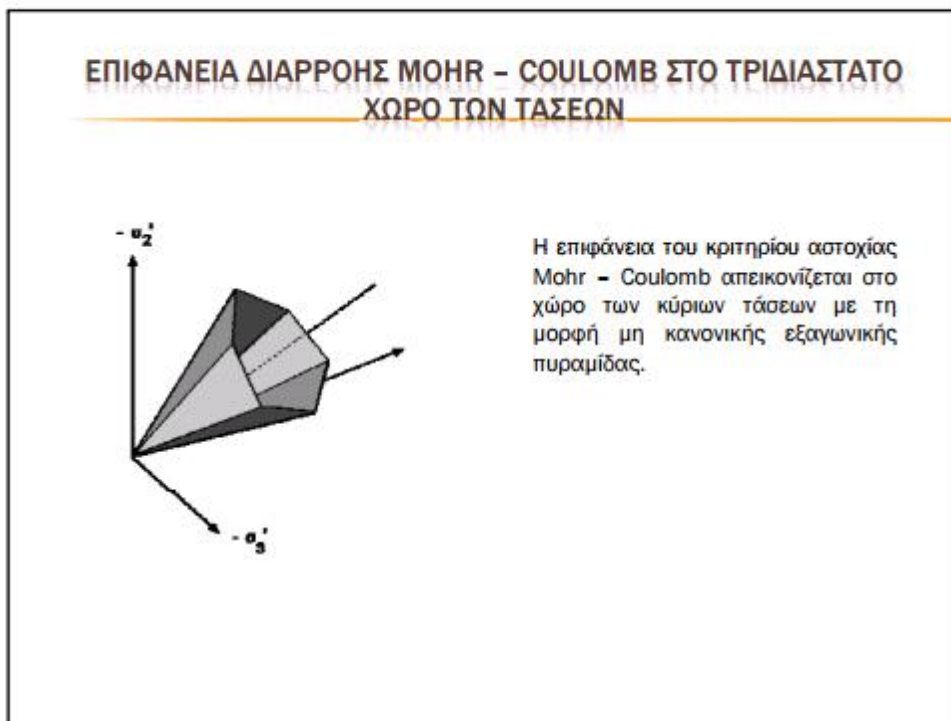
$$\gamma_{\max} = 2 \varepsilon_{xy \max}$$

να αναπτυχθει θα ισουται με:

Ισχύει όμως ότι

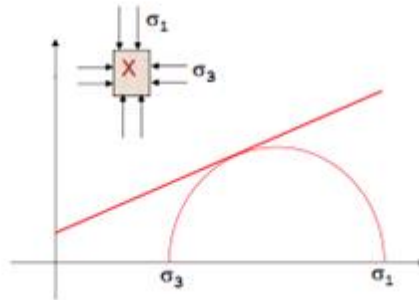
Δηλαδή

## 2.8 ΚΡΙΤΗΡΙΟ ΑΣΤΟΧΙΑΣ ΣΤΟ ΚΥΚΛΟ ΤΟΥ ΜΟHR<sup>3</sup>



<sup>3</sup> [http://www.legah.metal.ntua.gr/pdf/edafo/2013\\_2014/8](http://www.legah.metal.ntua.gr/pdf/edafo/2013_2014/8)

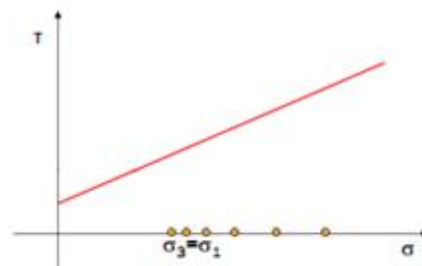
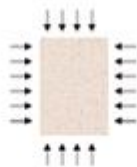
### Η ΣΧΕΣΗ ΤΩΝ ΚΥΡΙΩΝ ΤΑΣΕΩΝ ΚΑΤΑ ΤΗΝ ΑΣΤΟΧΙΑ



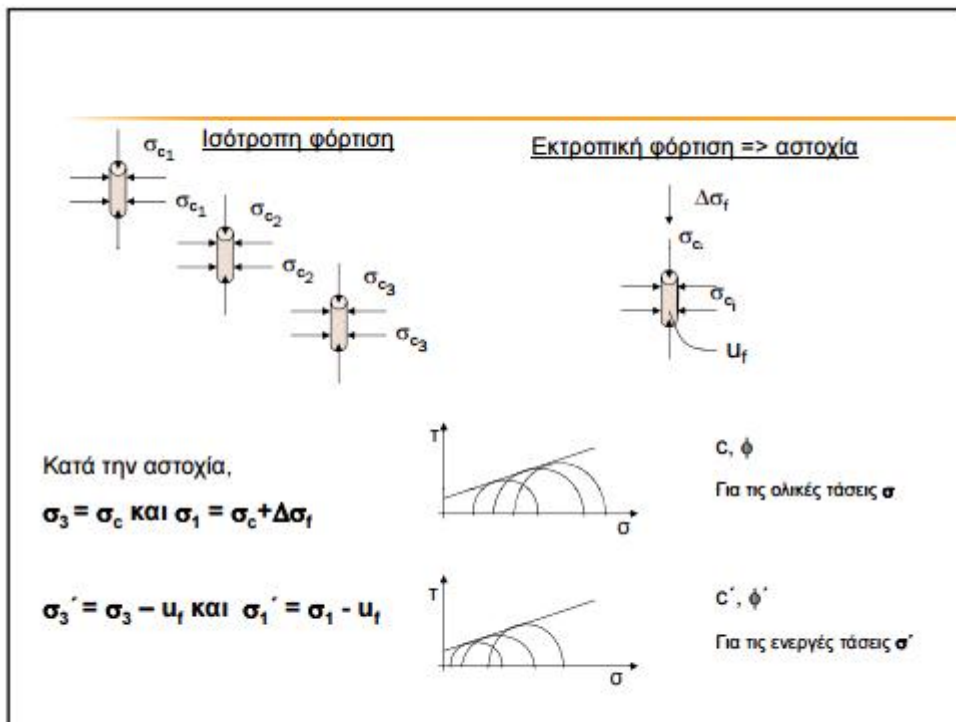
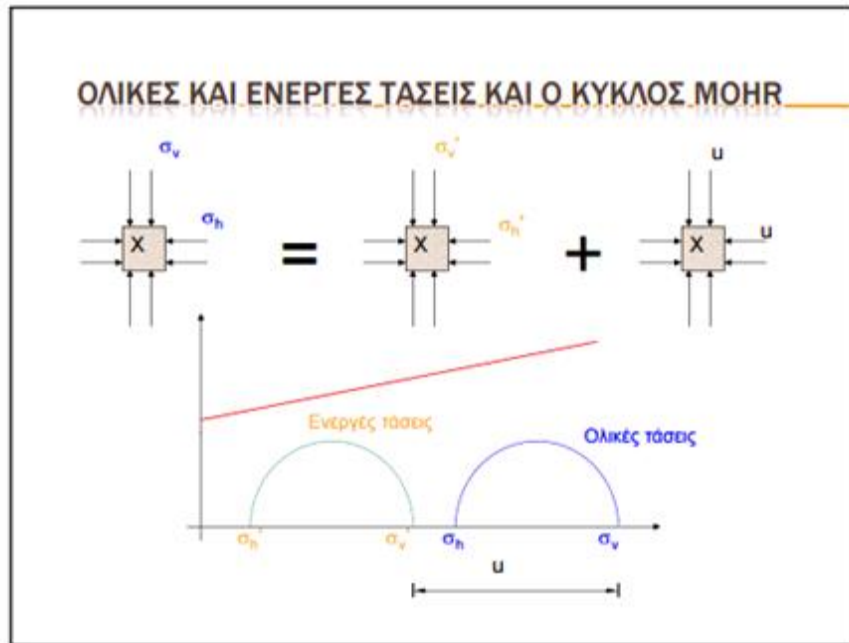
$$\sigma_1 = \sigma_3 \tan^2(45 + \phi/2) + 2c \tan(45 + \phi/2)$$

$$\sigma_3 = \sigma_1 \tan^2(45 - \phi/2) - 2c \tan(45 - \phi/2)$$

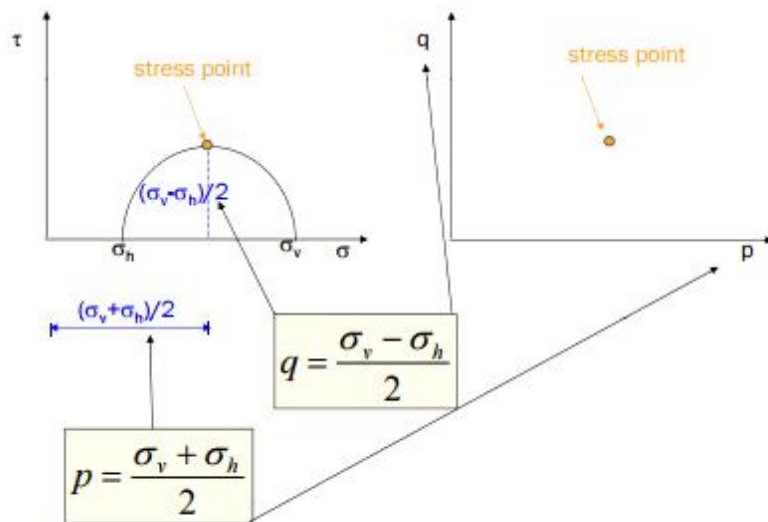
- Η ισότροπη φόρτιση δεν οδηγεί σε αστοχία καθώς ο συνδυασμός των τάσεων δεν είναι δυνατόν να ικανοποιήσει την εξίσωση αστοχίας της ευθείας Coulomb.



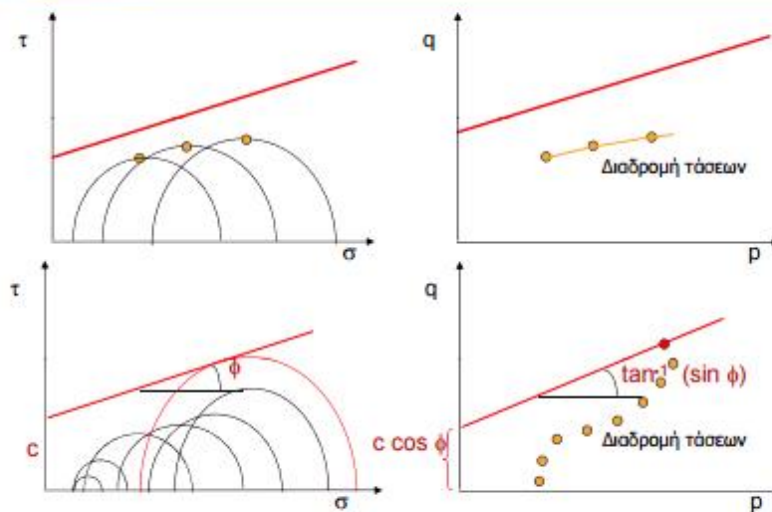




## ΔΙΑΔΡΟΜΗ ΤΑΣΕΩΝ - STRESS PATHS



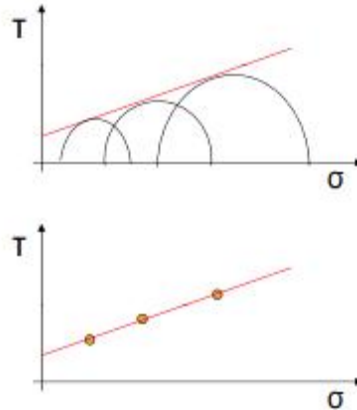
Η διαδρομή των τάσεων επιτρέπει την παρακολούθηση της φόρτισης έως την ικανοποίηση της εξίσωσης αστοχίας χωρίς να είναι απαραίτητη η συνεχής σχεδίαση των κύκλων Mohr.



## ΠΕΙΡΑΜΑΤΙΚΟΣ ΠΡΟΣΔΙΟΡΙΣΜΟΣ ΕΠΙΦΑΝΕΙΑΣ COULOMB

Οι συνήθεις δοκιμές προσδιορισμού της διατμητικής αντοχής των εδαφών είναι οι εξής:

- Δοκιμή άμεσης διάτμησης
- Δοκιμή τριαξονικής φόρτισης
- Δοκιμή δακτυλιοειδούς διάτμησης συνεκτικών εδαφών

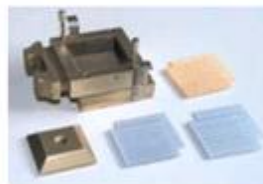


## ΔΟΚΙΜΗ ΑΜΕΣΗΣ ΔΙΑΤΜΗΣΗΣ

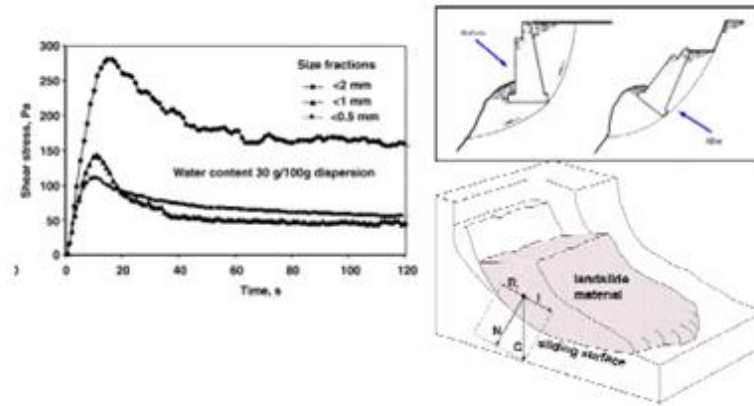
Η Δοκιμή Άμεσης Διάτμησης αναφέρεται στη βαθμιαία επιβολή διατμητικών μετακινήσεων σε εδαφικό δοκίμιο, προσαρμοσμένο εντός υποδοχέα διάτμησης, μέχρι τη θραύση του κατά μήκος προδιογεγραμμένης επιφάνειας.

**Διαστάσεις δοκίμιου:** Ελάχιστη επιθυμητή διάμετρος κυκλικού δοκίμιου ή πλάτος ορθογωνικής διατομής τετραγωνικού δοκίμιου 50 mm. Ελάχιστο πάχος δοκίμιου 25 mm. Ελάχιστος λόγος διαμέτρου προς πάχος 2:1. Οι μέγιστες διαστάσεις των κόκκων δεν πρέπει να υπερβαίνουν το 1/6 του πάχους.

**Προπαρασκευή δοκίμιου:** Η κοπή του αδιατάραχτου δείγματος ή η μορφοποίηση του αναζυμωμένου δείγματος πρέπει να πραγματοποιείται με ιδιαίτερη προσοχή προκειμένου να αποφευχθεί η απώλεια υγρασίας. Το τελικό δοκίμιο θα πρέπει να μη φέρει ανωμαλίες ή κενά και θα πρέπει να έχει παράλληλες και επίπεδες έδρες.



Εκτελούνται το ελάχιστο τρεις δοκιμές με διαφορετική ορθή τάση ανά δείγμα και υπολογίζεται η σχέση της διατμητικής αντοχής ( $\tau$ ) με την ορθή τάση ( $\sigma$ ).



## ΔΟΚΙΜΗ ΤΡΙΑΞΟΝΙΚΗΣ ΦΟΡΤΙΣΗΣ

Η τριαξονική δοκιμή καλύπτει τον προσδιορισμό της διατμητικής αντοχής κυλινδρικών δοκιμίων, αδιατάρακτων ή αναζυμωμένων, συνεκτικών εδαφών. Κατά τη δοκιμή ελέγχεται η αντοχή και γενικότερα η σχέση τάσης - παραμόρφωσης ενός δείγματος εδάφους σε οποιοδήποτε συνθήκες φόρτισης και αποστράγγισης. Ανάλογα με τις συνθήκες αποστράγγισης υπάρχουν τρεις (3) τύποι τριαξονικών δοκιμών:

**Δοκιμή UU:** Ταχεία δοκιμή χωρίς στερεοποίηση και χωρίς αποστράγγιση .

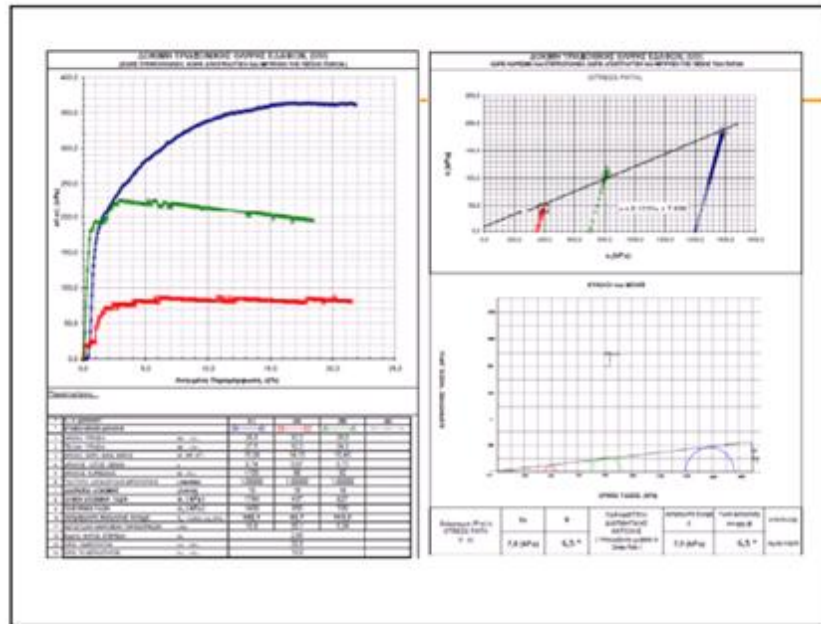
**Δοκιμή CU ή CUPP:** Δοκιμή με στερεοποίηση, χωρίς αποστράγγιση, με ή χωρίς μέτρηση της πίεσης πόρων.

**Δοκιμή CD:** Αργή δοκιμή με στερεοποίηση και αποστράγγιση.

**Διαστάσεις δοκιμίου:** Η σχέση διαμέτρου προς ύψος πρέπει να είναι 1:2 έως 1:3 με ελάχιστη διάμετρο 33mm. Τα επικρατέστερα δοκίμια είναι αυτά με ύψος 72mm και διάμετρο 35mm και ύψος 165mm και διάμετρο 71mm.

**Προπαρασκευή δοκιμίου:** Η κοπή του αδιατάραχτου δείγματος ή η μορφοποίηση του αναζυμωμένου δείγματος πρέπει να πραγματοποιείται με ιδιαίτερη προσοχή προκειμένου να αποφευχθεί η απώλεια υγρασίας. Το δοκίμιο κατά τη διάρκεια της δοκιμής περιβάλλεται από ελαστική μεμβράνη που το απομονώνει από το νερό της κυψέλης.





### Συμπεράσματα

Με βάση πειραματικές διαδικασίες υπολογίζουμε τα διάφορα κριτήρια αστοχίας σε δομικά στοιχεία. Απαιτούνται το ελάχιστο τρεις δοκιμές με διαφορετική ορθή τάση ανά δείγμα και υπολογίζεται η σχέση της διαμήτριας αντοχής με την ορθή τάση.

## ΒΙΒΛΙΟΓΡΑΦΙΑ

1. Π. Χατζημωυσιαδης, Αστοχία Υλικού, εκδ. Μεταίχμιο, 2013
2. M. Ashby, H. Shercliff , D. Cebon, Υλικά, εκδ Κλειδάριθμος, 2010
3. Αρ. Βατάλης, Επιστήμη και Τεχνολογία Υλικών, Εκδ. Ζήτη, 2015
4. Α. Τριανταφύλλου, Δομικά Υλικά, αυτοεκδ. Πάτρα, 2015
5. K. Williams, Επιστήμη και Τεχνολογία υλικών, εκδ. Τζιόλας 2016
6. Φ. Λόκκα, Εγχειρίδιο, Αρχών και Μεθόδων στην Αντοχή των Υλικών, ΤΕΙ Λάρισας, Τμήμα Πολιτικών Μηχανικών ΤΕ.

## ΠΑΡΑΡΤΗΜΑ

## ΕΥΡΩΚΩΔΙΚΑΣ #2 ΚΑΤΑΣΚΕΥΕΣ ΑΠΟ ΟΠΛΙΣΜΕΝΟ ΣΚΥΡΟΔΕΜΑ

|  |   |
|--|---|
| EN 1993-1-1 : 2005   |   |
| ΕΥΡΩΠΑΪΚΟ ΠΡΟΤΥΠΟ<br>EUROPEAN STANDARD<br>NORME EUROPÉENNE<br>EUROPÄISCHE NORM | <b>EN 1993-1-1:2005</b><br><br>Μάιος 2005                         |
| ICS: 91.010.30 ; 91.080.10   |   |
| Ελληνική έκδοση  |   |
| <b>Ευρωκώδικας 3 : Σχεδιασμός κατασκευών από χάλυβα</b>                        |   |
| <b>Μέρος 1-1 : Γενικοί κανόνες και κανόνες για κτίρια</b>                      |   |
| Calcul des structures en acier   | Bemessung und Konstruktion von Stahlbauten                        |
| Partie 1-1 : Règles générales et règles pour les bâtiments                     | Teil 1-1 : Allgemeine Bemessungsregeln und Regeln für den Hochbau |